



Софийски университет „Св. Климент Охридски“
Факултет по математика и информатика

КУРСОВ ПРОЕКТ

ПО

Разпределени софтуерни архитектури
спец. Софтуерно инженерство, 3 курс, летен семестър,
академична година 2022/2023

**MandelWorld: Паралелен тест на
Манделброт при статично и динамично
балансиране.**

Грануларност и адаптивност към L1 D-Cache

Изготвил: Стефан Велев

Ф. No.: 62537

Ръководители:

проф. д-р Васил Георгиев
ас. Христо Христов

04.06.2023

гр. София



СЪДЪРЖАНИЕ

Цел на курсовия проект и въведение в задачата	3
1. Анализ	6
1.1 „Parallel Implementation and Analysis of Mandelbrot Set Construction“	6
1.1.1 Функционален анализ	6
1.1.2 Технологичен анализ	6
1.2 „Parallel generation of a Mandelbrot Set“	8
1.2.1 Функционален анализ	8
1.2.2 Технологичен анализ	9
1.3 „Efficient Generation of Mandelbrot Set using Message Passing Interface“	10
1.3.1 Функционален анализ	10
1.3.2 Технологичен анализ	11
1.4 „MPI vs OpenMP: A case study on parallel generation of Mandelbrot set“	12
1.4.1 Функционален анализ	12
1.4.2 Технологичен анализ	13
1.5 Сравнителна таблица.....	14
2. Проектиране	14
2.1 Реализация със статично циклично балансиране.....	14
2.1.1 Функционално проектиране	14
2.1.2 Технологично проектиране	17
2.2 Реализация с динамично централизирано балансиране.....	19
2.2.1 Функционално проектиране	19
2.2.2 Технологично проектиране	23
3. Тестване. Настройка. Внедряване	26
3.1 Тестване и настройка на входните параметри.....	26
3.1.1 Резултати при реализация със статично циклично балансиране.....	26
3.1.2 Резултати при реализация с динамично централизирано балансиране без използване на библиотеката „ExecutorService“	34
3.1.3 Резултати при реализация с динамично централизирано балансиране с използване на библиотеката „ExecutorService“	47
3.2 Внедряване	52
3.3 Заключение.....	53
Източници	53



Цел на курсовия проект и въведение в задачата

Целта на курсовия проект е да се изследва паралелизма при провеждането на тест на Манделброт. Ще се разгледа как статичното и динамичното балансиране оказват влияние на полученото ускорение и ще бъде направена съпоставка между двете. Ще бъде отговорено на въпроси, касаещи се до грануларността, т.е. как са съпоставени отделните задачи спрямо големината им и разпределението им по броя нишки. Ще бъде изследвана темата с адаптивността към L1 D-Cache, т.е. дали може да се намали толкова размера на отделното задание, така че то да се помести изцяло в големината на L1 D-Cache. Ако това бъде постигнато, ще бъдат разгледани, ако има такива, случаи на суперлинейни аномалии, които ще бъдат видими най-ясно в тестовия план и графиките към съответните тестови случаи.

Последователността на секциите в курсовия проект ще следва процеса по разработка на софтуер в рамките на софтуерното инженерство.

В 1. *Анализ* ще бъдат проучени и представени четири източника, които са максимално подобни по задача с поставената като цел. Ще бъдат анализирани, с цел да се изведат добрите и не толкова добрите практики, които да се следват и съответно избягват от автора в последващите етапи. Заедно с функционалния анализ, ще присъства и технологичен обзор, който ще изследва използваните технологии, езици, средства, които ще бъдат инструментът, спомагащ за решаването на проблема. Секцията ще завърши със сравнителна таблица между източниците, която цели да обобщи най-важната извлечена информация от обзора и едновременно да представлява сравнение с визията на автора по отношение на задачата.

В 2. *Проектиране* ще бъдат разгледани същинските въпроси по реализацията на проблема. Функционалностите, които ще притежава готовия продукт, ще бъдат представени чрез т.нар. „ръководство за потребителя“ („user guide“). В него ще бъдат описани изискуемите входни параметри, които може да бъдат подавани при стартиране на програмата, и точният начин те да бъдат представени. Нефункционалните характеристики ще бъдат въведени под формата на „справочно ръководство“ („reference manual“), което ще разгледа въпроси, свързани с конкретно избрания начин на работа и имплементация. Тук ще бъдат разгледани и сравнени двата вида балансиране с цел да се покаже на практика кой вариант е за предпочитане и какви са му силните и слабите страни. За двата случая ще бъде представена UML диаграма на последователността (UML Sequence Diagram), с помощта на която ще се онагледят последователността на действията, които се реализират по време на стартиране на програмата, както и от кои инстанции на представените класове се извършват. По този начин ходът на отделните съобщения ще бъде



очертан ясно. По отношение на използваните средства, ще бъдат описани всички зависимости под формата на библиотеки, които се използват за работа на софтуера.

В 3. Тестване. Настройка. Внедряване ще бъде представен тестов план, който ще се състои от множество тестови случаи, целящи да изследват това как ще се държи програмата по време на изпълнение при подадени различни стойности на входните параметри. Това ще бъде направено, за да може да се пресметне ускорението (*speedup*) в различните случаи. С помощта на графики ще бъде онагледен резултатът в някои от случаите, който ще послужи за формулирането на изводи по отношение на разглежданите проблеми. В частта за внедряването ще бъдат демонстрирани изображения, резултат от програмата.

Курсовият проект ще завърши със секция за *Източници* ("References"), които ще бъдат използвани при извършване на предварителния анализ, както и по отношение на самото проектиране.

Множеството на Манделброт се представя под формата на фрактал. По същество фракталът е модел, който се повтаря вечно и всяка част от фрактала, независимо колко е увеличен или намален мащабът, изглежда много подобно на цялото изображение.

Множеството на Манделброт се задава с реда $z_{n+1} = z_n^2 + c$, където z и c са комплексни числа. Изчислението на конкретна точка става именно чрез задаването на нейните координати в комплексната равнина под формата на фиксираната константа c . За всяка нейна стойност получаваме различни редове от горния вид за които има два варианта:

- (i) Точката c принадлежи на множеството на Манделброт M :
$$c \in M \Leftrightarrow |z_n| \leq 2 \text{ за } \forall n \geq 0$$

Това означава, че редът има крайна граница, която в компютърните системи може да бъде проверена чрез не преминаването на границата до известно фиксирано място, тъй като във физическия свят винаги съществува някакво ограничение на ресурси. В този случай точката c се изобразява в черен пиксел на генерираното изображение.

- (ii) Точката c не принадлежи на множеството на Манделброт M :
$$c \notin M \Leftrightarrow \exists n \geq 0 : |z_n| > 2$$

Това само за конкретния случа означава, че редът има безкрайна граница, т.е. клони към безкрайност. Математически установено е, че когато от дадено място нататък, стойността на реда надхвърли границата 2, то той ще започне да нараства бързо и няма да бъде сходящ. Броят итерации, необходими да бъдат направени до момента



на достигане и преминаване през числото 2, ни е необходим, за да определим цвета на пиксела за дадената точка в генерираното изображение.

Казахме, че в света на технологиите няма как да представим безкрайността. Тогава възниква въпросът какъв да бъде максималният брой итерации, които да се правят при изчисленията за всяка точка. Истината е, че различният брой итерации ни дава различно ниво на детайлност на множеството на Манделброт. Ясно е, че при зададен по-голям брой на възможните итерации, изчислителната сложност на задачата ще расте. Тъй като обаче алгоритъмът е напълно асинхронен, това няма да е съпроводено с много големи изчаквания в края, стига, разбира се, конкретната реализация да е добре балансирана между различните работници. В крайна сметка, всичко се свежда до нашия избор относно това колко детайлно искаме да бъде генерираното изображение в резултат на изпълнение на програмата и колко време искаме да чакаме за това то да бъде получено.



1. Анализ

1.1 „Parallel Implementation and Analysis of Mandelbrot Set Construction“ [1]

1.1.1 Функционален анализ

В този източник задачата е сходна на поставената. Цели се да се проектира последователен и паралелен алгоритъм на теста на Манделброт. Статията започва с описание на проблема, където е въведена основната информация, необходима на читателя да навлезе в задачата.

След кратък коментар на последователното решение, започва разглеждането на паралелния алгоритъм. Коментира се по проблема с балансирането и как стандартното разделение на по-едри редове и колони няма да е ефективно, тъй като черните области от изображението биха отнели много повече време за изчисление от по-светлите. Това е така, защото черният пиксел означава, че в изчислението на реда от множеството на Манделброт са извървяни всички последователни членове до достигане на максимума, който задаваме като входен параметър или по време на имплементация. Комуникацията между отделните процеси (нишки) е сведена до минимум – само преди (за да им бъде дадена задачата и поредния номер) и след (за да предадат свършената работа, която да бъде обединена на едно място накрая) направата на изчисленията.

Резултати са получени от две тестови машини (*Mimosa* и *Sweetgum*), чиито механизъм и технология ще бъдат разгледани по-подробно в секцията за технологичен анализ. От графиката на полученото ускорение забелязваме, че то много се доближава до линейно. На представената фигура се акцентира върху хардуерния паралелизъм на машините, тъй като по абсцисата се вижда, че мерната единица са самият брой процесори (CPU). Забелязваме, че *Sweetgum* се представя по-добре в моментите, когато сме излезли от ситуацията на последователен алгоритъм. За да разберем защо това е така, ще трябва да разгледаме нефункционалните аспекти, стоящи зад двете тестови машини.

1.1.2 Технологичен анализ

В цитирания източник представения механизъм за комуникация, който се използва, е MPI общодостъпно предаване. Това е постигнато с помощта на езика C++ и интерфейсът за обмен на съобщения (MPI). С помощта на пакетна обработка чрез специална система, задачите се предават на две паралелни машини – *Mimosa* и *Sweetgum*. Характерно за тях е, че *Mimosa* представлява разпределена система – мултикомпютър (distributed memory system), докато *Sweetgum* е система с обща памет – мултипроцесор (shared memory system). В случая и двете машини работят под Linux среда.

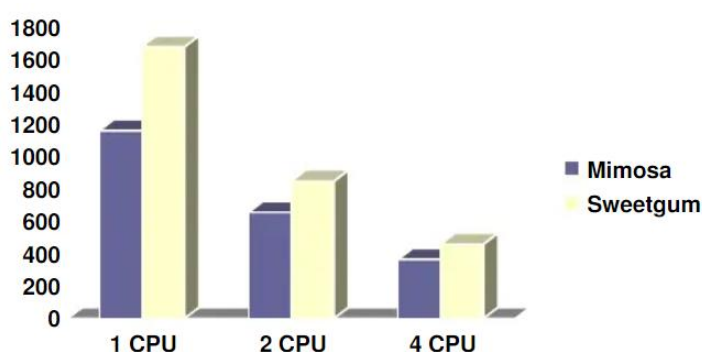
Казахме, че използваният механизъм за комуникация е чрез обмен на съобщения. В такъв случай характерния модел на *Mimosa* според разширената таксономия на Flynn-Johnson би бил DMMP (distributed memory, message passing). Това е чистият вариант на мултикомпютърна архитектура. Предимство на механизма за обмяна на съобщения е, че нямаме странични ефекти като състезателен достъп (race condition) или взаимна блокировка (deadlock), тъй като получаващият съобщението процес не може да



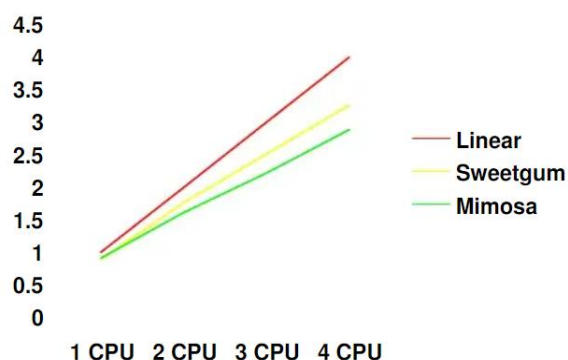
извърши четене преди да бъде изпратено и получено то. По този начин самата размяна на съобщения играе ролята на ключалка, от която иначе бихме имали нужда, ако използвахме механизма на общите променливи.

Споменахме, че *Sweetgum* е система с обща памет. Тъй като механизма за размяна на съобщения остава, вероятният случай, в който попадаме тук според разширената таксономия на Flynn-Johnson е GMMP (general memory, message passing). В този случай имаме обща памет на една машина, но въпреки това използваме механизма за обмяна на съобщения. Това се прави, защото казахме, че последният не води до споменатите странични ефекти. Този механизъм е характерен за функционални езици като Erlang и др.

След като изяснихме въпросите по архитектурата на машините, можем да направим изводи по отношение на получените резултати за ускорението. В стълбчестата диаграма за отминалото време за изчисление на алгоритъма забелязваме, че когато той е паралелен, разликата между времената на двете машини е осезаема. *Mimosa* се представя много по-добре от *Sweetgum*. С увеличаването на хардуерния паралелизъм обаче, може да видим как тази разлика намалява. От графиката за ускорението, в крайна сметка, може да видим, че *Sweetgum* се представя като цяло по-добре от *Mimosa*, т.е. системата с обща памет при обмен на съобщения се представя по-добре от другата система – тип мултикомпютър. Това е така, защото в този случай се приближаваме повече до чисто паралелния подход SPMD (single program, multiple data), докато при втория подход все пак оставаме повече зависими от допълнителна външна среда middleware (междинна платформа). Все пак остава под въпрос коректността на графиките, защото след направата на някои изчисления от показаните времена на първата графика и представените ускорения на втората графика, не се открива точната зависимост. Въпреки това, и от графиката на времената може да се заключи чрез груби сметки на ускорението, че *Sweetgum* е системата, която води до по-голямо ускорение.



Фигура 1: Стълбчеста диаграма на изминалото време спрямо броя процесори (10000x10000)



Фигура 2: Графика на ускорението спрямо броя процесори (10000x10000)



1.2 „Parallel generation of a Mandelbrot Set“ [2]

1.2.1 Функционален анализ

В този източник задачата е да се генерира множеството на Манделброт чрез паралелен алгоритъм. Изчислението е напълно асинхронно, защото за пресмятането на дадена задача, не е необходима информация за останалите. Статията започва с кратко въведение, което разяснява изследвания проблем. Споменава се целта на статията и се предлагат за разглеждане две различни паралелни схеми, които водят до различни по производителност резултати.

Във въведението авторите ни запознават в още повече детайли с проблема. След това се споменава механизмът, който се използва за паралелната комуникация, а именно MPI (интерфейс за обмен на съобщения). За неговата реализация ни е нужна мрежа от компютри, които с помощта на middleware (междинна платформа) да осъществяват този обмен. Дискутирани са основните команди за размяната на съобщения, сред които са стандартните MPI_Send и MPI_Recv, които са блокиращи и следователно спират нормалния поток на алгоритъма, за да изчака завършване на операцията. Това е причината механизмът за обмяна на съобщения да няма допълнителни странични ефекти, за разлика от този на общите променливи в мултипроцесорите.

Статията продължава с въвеждане на последователния алгоритъм за изчисление на теста на Манделброт. Естествено, това означава, че започвайки от някой ъгъл последователно ще се изчисляват отделните области (задачи), т.е. една след друга. Целта обаче е да се разгледат паралелни решения на този проблем. Именно затова са предложени два варианта на решение – статично балансиране (Static Load Balancing) и динамично балансиране (Dynamic Load Balancing). При статичното балансира всяка нишка (в случая процес) има предварително определени области от множеството, които трябва да изчисли. При стартиране на програмата, те са ясно определени, в зависимост от подадените параметри, и това става с помощта на задаване на индекси, чрез които всяка нишка знае кои задачи трябва да изпълни и коя нова да поеме след като приключи с предишната. При модела на динамичното балансиране няма ясно зададени начални правила, а се решава по време на изпълнение на програмата коя нишка с коя от задачите да продължи. За целта е нужно да се използва задължително или ключалка, която да е общия механизъм за комуникация, или отделен за това процес, който да има задачата да ръководи изпълнението на останалите като им поставя нови задачи след като са готови. Последното се отклонява до известна степен от чистата паралелна програма (SPMD), защото за оркестриращия процес трябва да бъде направен нов код, което не е характерно за паралелизма по данни като цяло. Очаква се този начин на работа да е по-бавен, тъй като това време за решаване и поставяне на нови задачи на нишките отнема време и увеличава общото време за решение.

Забелязваме, че доста често при модела на статично циклично балансиране грануларността е едра, т.е. на всеки един процес се дават максимално големи области от теста, без да се разцепват на още допълнителни части, които да се редуват по процесите. Това е проблем, тъй като едрата грануларност води до проблеми с балансирането при силно небалансирани проблеми, какъвто е и множеството на Манделброт.



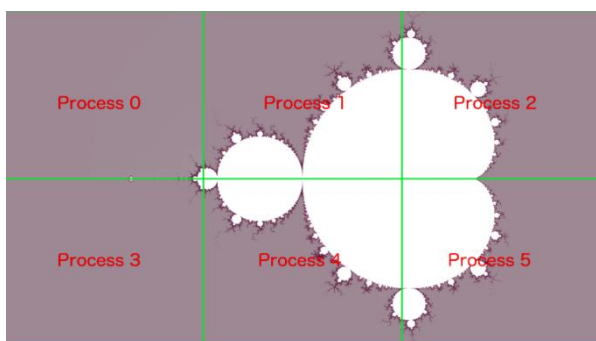
В анализа на получените резултати можем да направим извод, че при тестове с размер на матрицата 12800×12800 и брой итерации 1000, ускорението при статично циклично балансиране не надминава 4. При динамично централизирано балансиране обаче, при стартирани 16 на брой процеси, ускорението е около 14. Тук ясно се вижда проблема, че при максимално едра грануларност, статичното циклично балансиране няма как да даде по-добри резултати. Това може да се подобри и дори да надмине динамичното, ако задачите бяха с по-малък размер и по-разнообразни, като това може да се постигне с увеличаване на коефициента на грануларност.

Правят се и тестове с по-малка матрица – 1600×1600 . При тях отново динамичното централизирано балансиране води до по-добри резултати. Тук обаче не е съобразен един от основните проблеми при проектирането на паралелни алгоритми, а именно пониската изчислителна сложност. Когато задачата става прекалено бърза за изчисление от процесите, няма как статичното циклично балансиране да даде добри резултати. Решението е да се увеличи сложността на задачата, като се увеличи областта, резолюцията, максималният брой итерации и др.

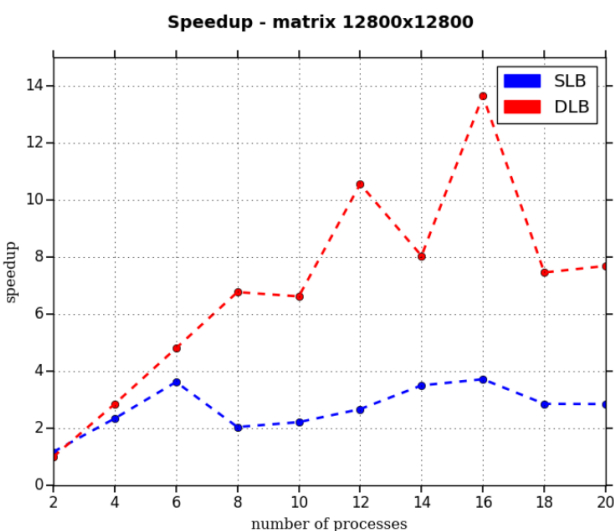
1.2.2 Технологичен анализ

В цитирания източник отново представеният механизъм за комуникация, който се използва, е MPI общодостъпно предаване. Приложените архитектурни решения са SPMD за статичното циклично балансиране и моделът Master/Slave, който се доближава до концепцията за MPMD и се използва в случая за динамичното централизирано балансиране.

Изчислителните платформи за пресмятането на задачите са реализирани на две различни инфраструктури: платформа А (кълъстер от 11 Intel dualcore 32 bit процесора с 2 GB RAM) и платформа В (кълъстер от 13 Intel quadcore 64 bit процесора с 2 GB RAM). Още на този етап, идеята за кълъстер може да ни говори за механизма за обмяна на съобщения, тъй като кълъстерите стоят в основата на изграждането на различните видове мултикомпютри.



Фигура 3: Използвана максимално едра грануларност при реализация на статично циклично балансиране



Фигура 4: Графика на ускорението при статично и динамично балансиране спрямо броя процесори (12800×12800 ; 1000 итерации)



1.3 „Efficient Generation of Mandelbrot Set using Message Passing Interface“ [3]

1.3.1 Функционален анализ

В този източник е разгледан отново проблемът с паралелната имплементация на множеството на Манделброт. Статията започва с кратко въведение в проблема. Следващата секция продължава с предварителен анализ, в който авторите проверяват първо най-важното – дали алгоритъмът може да бъде имплементиран паралелно, както и какво се очаква да бъде теоретично полученото ускорение. Всичко това се прави, с цел да се провери смисълът на поставения проблем, както и да се анализират възможните ползи като резултат от задачата.

Дали алгоритъмът може да се декомпозира по данни може да бъде проверено чрез използването на условията на Бернщайн (Bernstein's conditions). Те гласят, че две задачи могат да бъдат паралелизирани, ако са изпълнени три условия, свързани с техните входи и изходи. Това са именно, че входът на първата задача не трябва да има никаква зависимост с изхода на втората задача, входът на втората задача не трябва да има никаква зависимост с изхода на първата задача, както и че двата изхода на двете задачи не трябва да бъдат еднакви. В случая на теста на Манделброт отделните един до друг пиксели от изображението нямат пряка зависимост един от друг и може да се стигне до заключението, както са го направили и авторите на статията, че генерирането на множеството на Манделброт удовлетворява условията на Бернщайн и следователно може да бъде разработен паралелно.

Втората стъпка е изчислението на теоретичното ускорение. За целта се използва законът на Амдал (Amdahl's Law), който ни дава формула, по която можем да изчислим теоретичното ускорение S_p . То зависи обратно пропорционално на сбора от времето, прекарано в последователната част от кода, и времето, прекарано в паралелната част, разделено на броя задачи. В резултат авторите са обобщили получените резултати в таблица, от която се вижда, че има смисъл от паралелния тест на Манделброт.

В статията се представени три реализации на теста на Манделброт. Те са разгледани в детайли без да се прави явна разлика между статично и динамично балансиране. В статията е споменато, че и всеки един от трите подхода ще изпраща данни обратно до основната нишка и че следователно се използва архитектурата Master/Slave. Една от причините затова е операцията по писане във файл, която е непредсказуема и не е добър подход да се прави от всяка една нишка, тъй като това може да доведе до проблеми с конкурентността. Въпреки това, в различните подходи можем да забележим елементи, които ни доближават от една страна до оприличаване със статично циклично балансиране, а от друга – до динамично балансиране.

Първият подход (Naive: Row Based Partition Scheme) се доближава до статичното циклично балансиране. Изображението се разделя на толкова равни части (редове), колкото са на брой нишките. Това означава, че тук работим с възможно най-едрата грануларност – $g = 1$. Разбира се, при такъв тип проблеми това най-често резултира до проблеми с балансирането, защото проблеми като разглеждания се характеризират с небалансираността си. Главната нишка стартира всички останали нишки и продължава работа само по своята част, докато за останалите има предварително зададени задачи,



които да извършат. Когато те са готови, изпращат масив със своите получени данни, който обаче се копира от главната нишка, защото финалният голям масив с всички изчислени задачи бива използван за генериране на изображението на Манделброт.

Втората реализация (First Come First Served: Row Based Partition Scheme) може да бъде обвързана с подхода на динамичното централизирано балансиране. Това е така, защото главната нишка (master) има за задача да следи за свободни от работа нишки и да им изпраща нови задачи. Разликата вече тук е, че нямаме предсказуемост преди стартиране на програмата коя нишка, кога ще е готова, колко задачи ще извърши и т.н. Естествено, това решение разчита много на процесите по комуникация и обмяна на съобщения. Характерно за него е, че главната нишка не изчислява никакви редове сама по себе си, а се използва само за делегиране на задачи между нишките. В това решение на проблема си личи ясно изразеното забавяне, което ще бъде забелязано именно поради тази постоянна размяна на съобщения и комуникация, особено ако броя на нишките нарастне значително или пък всички приключват по едно и също време.

Третата реализация (Alternating: Row Based Partition Scheme) е много подобна на първата, т.е. имаме повече сходство със статичното циклично балансиране, но за разлика от първия подход, тук грануларността е по-средна. Това се прави с цел полесното балансиране и приключване на работата по едно и също време. В това обаче се забелязва проблем, тъй като се използва механизмът за обмяна на съобщения, а не общи променливи. Този проблем не е видим, когато задачите са сравнително небалансирани, но в този подход се забелязва, когато главната нишка получава по едно и също време готовите резултати от нишките. Това е тясното място на този подход, което се получава от комбинирането на статично циклично балансиране с подход за обмяна на съобщения с Master/Slave архитектура.

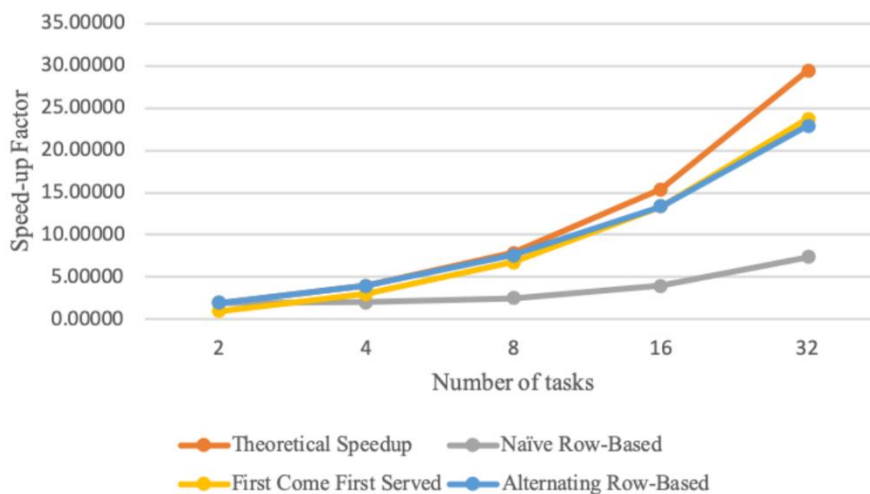
От получените от авторите резултати могат да бъдат направени някои заключения. От графиката се вижда, че подходът, който дава най-малкото по стойност ускорение е първият, т.е. при статично циклично балансиране с максимално едра грануларност. Това е очаквано, тъй като тестът на Манделброт е силно небалансиран проблем. Подходът с динамично централизирано балансиране дава добри резултати, но там процесите по размяна на съобщения отнемат изключително много време, когато говорим за паралелен алгоритъм. Най-добрата представена възможност е третата, която е статично циклично балансиране със средна грануларност. Проблемите, за които казахме, че тя има, свързани с едновременната готовност за предаване на резултати към главната нишка, могат да бъдат решени чрез използването на механизма на общите променливи, тъй като тогава споделеният ресурс ще се намира на едно място на една машина и няма да има нужда от допълнителен процес, който да има специално грижата да координира, приема и обработва готовите резултати.

1.3.2 Технологичен анализ

За тестването на всички подходи в статията се използва интерфейсът за обмяна на съобщения (MPI) на програмния език C. За всеки един от тестовите подадения размер на изображенията е 8000x8000 с 2000 итерации. Всички тестове са проведени на *MonARCH* (*Monash Advanced Research Computing Hybrid*) HPC/HTC клъстер, което до голяма степен обяснява и използвания механизъм за обмяна на съобщения. Всички тестове са проведени само на един вид процесори – Intel Xeon Gold 61150, за да се



избегне проблемът с липсата на наличност на някои видове ядра в даден момент от време. Всеки от процесорите разполага с 36 логически ядра, но тъй като хипертредингът (hyperthreading) бива изключен, се разчита само на 18-те физически ядра. Наличната използвана оперативна памет RAM е 32 GB за всички тестове.



Фигура 5: Графика на полученото ускорение при трите използвани подхода (8000x8000; 2000 итерации)

1.4 „MPI vs OpenMP: A case study on parallel generation of Mandelbrot set“ [4]

1.4.1 Функционален анализ

В този източник се прави сравнение между две технологии, зад които стоят всъщност механизмите за обмяна на съобщения (Message Passing Interface) и на общите променливи (Open Multi-Processing). Разликата между тях, за която авторът споменава във въведението е, че при използването на общи променливи задачите са реализирани чрез използването на нишки в рамките на една операционна система и процес, докато при предаването на съобщения задачите са реализирани чрез използването на различни процеси на операционната система. Подчертава се, че проблемът за теста на Манделброт е избран, защото има изцяло паралелно решение, в което липсва нуждата от синхронизация, с изключение на частта накрая, в която се събират частичните изчисления от всяка нишка, за да може да се конструира финално решение.

Статията продължава със секции, в които са разгледани в детайли и като код, последователният и паралелният алгоритъм за решаването на проблема. Очаквано, при механизма за обмяна на съобщения, се разчита на модела „Master/Slave“, който се използва при динамично централизирано балансиране, тъй като тук имаме постоянно изпращане и получаване на съобщения директно между процесите в някаква среда. Съществува процес (master), който отговаря за разпределението на задачите между останалите процеси (slaves) и ги групира накрая в общ масив с изчисления. В допълнение се казва, че този процес (в случая цял процесор) ще извършва и част от изчисленията. Както и авторът очаква от думите му в началото на статията, този подход няма да дава добри резултати, изразяващи се във високо ускорение (speedup).



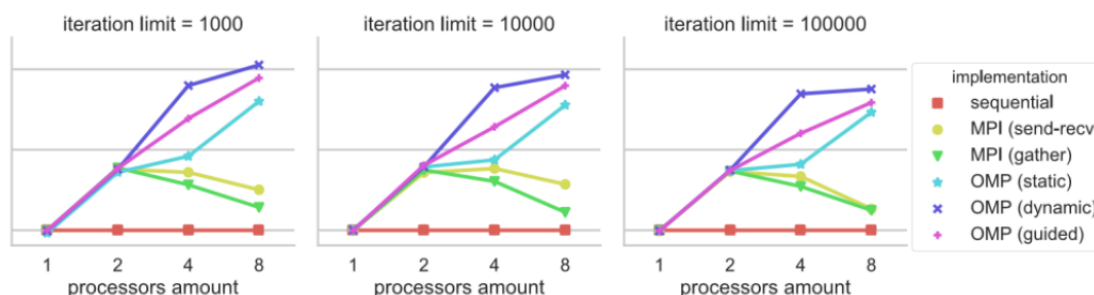
Друга отличителна черта на статията е, че авторът използва в много от случаите функции на ниско ниво, вместо да използва готовите такива. Това се прави с цел постигане на бързодействие, защото често готовите решения разчитат на зависимости от други процеси, което внася допълнително ниво на забавяне в алгоритъм, който се стреми да демонстрира висока скорост. Пример за това са функциите за измерване на времето на изпълнение на програмата, които авторът сам си имплементира, вместо да използва готовите от OpenMP и MPI. Друго негово наблюдение е, че функциите от ниско ниво `MPI_Send` и `MPI_Recv` постигат по-добри резултати, отколкото варианта с функцията от по-високо ниво `MPI_gather`.

Очаквано, по отношение на получените резултати, се достига до извода, че механизмът на общите променливи, който е форма на паралелния подход SPMD, дава по-добро ускорение и по-малко време за изпълнение. Това се вижда и на редицата графики, които авторът ни е предоставил. При механизма за обмяна на съобщения (MPI) се забелязва, че с увеличаването на броя процесори, ускорението спада. Това е така, защото във всички случаи, една и съща задача се разпада на все по-малки задачи за изчисление от процесите, които са в комуникация след всяка една, изпълнена от тях. Тъй като обаче процесите се увеличават, а задачите стават все повече и по-малки, достига се до там, че времето за изчисление на задачата става толкова, колкото е времето за изпращане на готовата задача до главния процес (master). Целият този страничен процес по комуникация няма как да не окаже влияние в получените резултати.

1.4.2 Технологичен анализ

И в този източник се използва езикът за програмиране C++ и директивите на OpenMP и MPI. Архитектурата е централизирана с обща памет. Реализирани са много различни опити с максимален брой итерации 100, 1000, 10000 и 100000 и с брой процесори 1, 2, 4 и 8. Тези променливи се подават чрез глобални променливи на средата. Всяка комбинация е повторена три пъти, като се взима средноаритметичното, което считам, че не е винаги коректно, защото върху скоростта на някои от опитите може да оказва влияние фоновото натоварване от други процеси в компютърната система. Приложението решение в рамките на текущия проект е да се използва минимумът от времената на трите теста.

Използваната резолюция и размер на множеството на Манделброт за изчисление е 1024×1024 . Машината, която се използва за изчисление, е компютърен модел *HP Notebook – 15-db0069wm* с процесор AMD Ryzen™ 5 2500U Quad-Core и RAM 8 GB DDR4-2400 SDRAM. В заключението, авторът споменава, че получените резултати са част от направено учебно проучване и че те могат да послужат за бъдещи големи проучвания и анализи на проблема и получените резултати.



Фигура 6: Графики на полученото ускорение при различен максимален брой итерации спрямо броя процеси (1024×1024)



1.5 Сравнителна таблица

Образец	Макс. паралелизъм	Тип балансиране	Модел на декомпозиция	Поделение на матрицата	Грануларност	Макс. брой итерации	Размер на матрицата	Начин на обмен
[1]	4 (хардуерен)	статично циклично	декомпозиция по данни	по редове, по колонии, рандомизирано	едра, средна	1000	10000 x 10000	обмен на съобщения (MPI)
[2]	20	статично циклично, динамично централизирано	декомпозиция по данни, декомпозиция по управление	по редове, по колонии, по блокове	максимално едра, средна	10000	100 x 100, 1600x1600, 1920x1080, 12800x12800	обмен на съобщения (MPI)
[3]	18 (36 логически с хипертрединг)	статично циклично, динамично централизирано	декомпозиция по данни, декомпозиция по управление	по редове, по колонии, по блокове	едра, средна	2000	8000 X 8000	обмен на съобщения (MPI)
[4]	4 (8 логически с хипертрединг)	статично циклично, динамично централизирано	декомпозиция по данни, декомпозиция по управление	по редове	едра	100, 1000, 10000, 100000	1024 X 1024	обмен на съобщения (MPI), общи променливи (OpenMP)
MandelWorld	16 (32 логически с хипертрединг)	статично циклично, динамично централизирано	декомпозиция по данни, декомпозиция по управление	по редове, по колонии	едра, средна	1024	3840 X 2160 (4K)	обща променлива (shared variables)

2. Проектиране

В рамките на проекта са реализирани два вида балансиране: статично циклично и динамично централизирано, с оглед на това да се направи сравнение между двете. При варианта със статично циклично балансиране е осъществена декомпозиция на матрицата по редове и по колонии, за да се провери влиянието на тежестта на задачите в двата случая. При варианта с динамично централизирано балансиране са реализирани две имплементации – една без използването на библиотеката „ExecutorService“ и една с нея. По този начин може да се оцени свръхтовара, който и от анализа в предишната точка, се предполага, че ще се генерира.

2.1 Реализация със статично циклично балансиране

2.1.1 Функционално проектиране

2.1.1.1 Модел на програмата

Програмата ще реализира декомпозиция по данни. Това е типичният случай за една паралелна програма. От анализа на източниците видяхме, че проблемът с теста на Манделброт може да бъде подложен на паралелна обработка, тъй като отделните нишки не биха си пречили една на друга. Отделните задачи ще бъдат сформирани от разделянето на общ масив на няколко парчета, в зависимост от използваната грануларност.

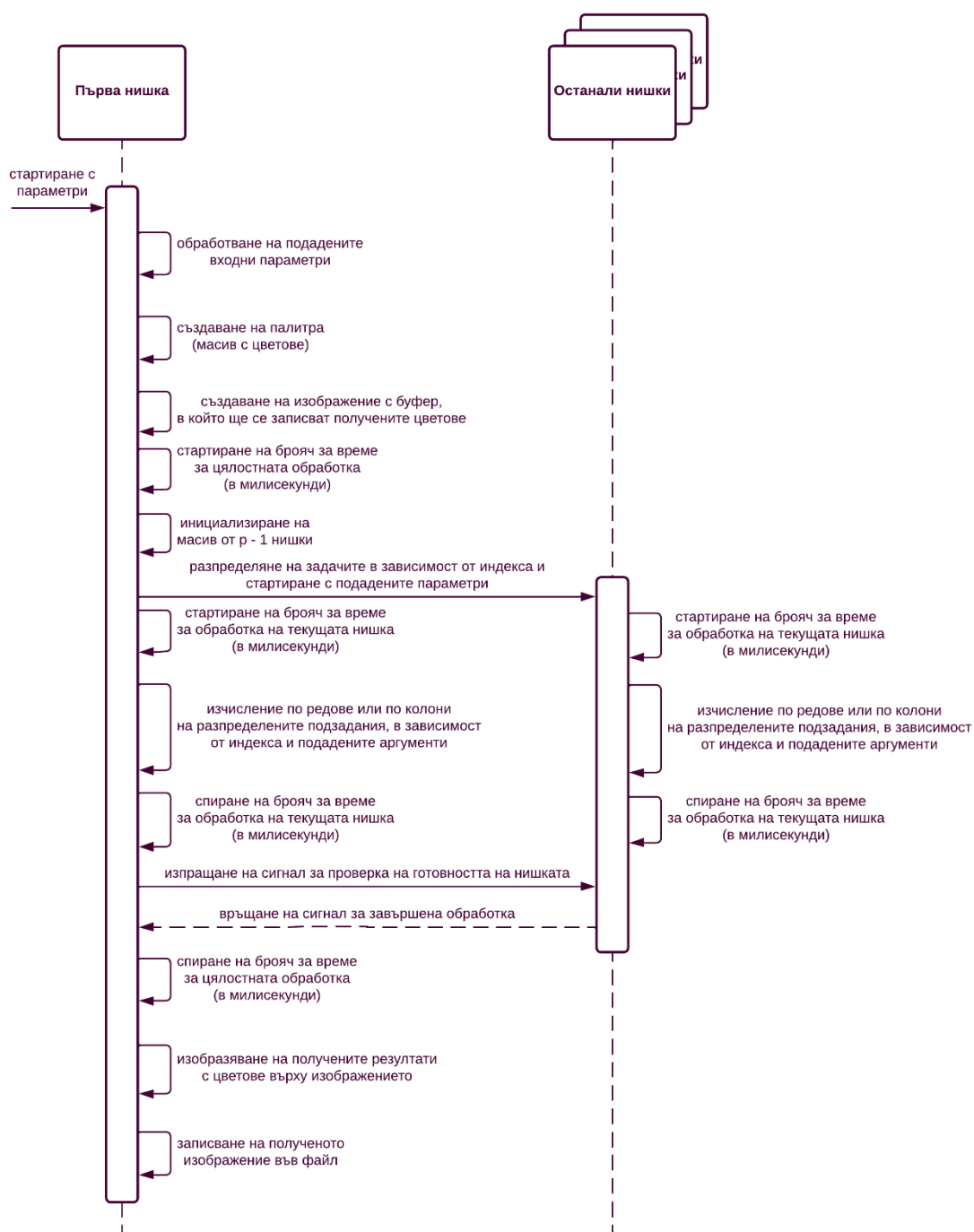
При статично циклично балансиране всички нишки имат много подобна (почти еднаква) функция. Главната нишка стартира останалите и започва работа по своята част, докато останалите нишки също от самото начало знаят кои области от проблема



са предназначени за тях и отново започват работа. Причината да се следва този модел е, че множеството задачи са аналогични една на друга и няма нужда от отделен процес, който да прави синхронизация и да раздава задачи. Предварителното разпределение на задачи се осъществява на база индекса на нишката още в самото начало.

Характерно за този случай е, че главната нишка прави изчисления също като останалите нишки. Именно затова, моделът няма как да бъде отъждествен с Master/Slave модела, при който задачата на основната нишка е изцяло различна.

2.1.1.2 Диаграма на последователностите



Фигура 7: Диаграма на последователностите за реализация със статично циклично балансиране



Диаграмата на последователностите (UML Sequence Diagram) показва последователността на хода на програмата при статично циклично балансиране. В началото, програмата започва с обработка на входните параметри според предварително дефинирания формат. След това се създава палитра, която според броя извършени итерации, ще определя цвета на съответния пиксел. Прави се отмерване на текущо време, с което ще се оцени изминалото време за работа на цялата програма. След инициализирането на масив с $p - 1$ нишки се преминава към разпределяне на задачите на всяка нишка и тяхното стартиране. Характерно за статичното циклично балансиране е, че след това и първата нишка започва със своите изчисления, т.е. тя има сходни задачи с останалите нишки. Всяка нишка отмерва времето, което ѝ е нужно за изчисление на задачите си и изпраща информация към основната нишка. Това на практика може да се случи с обща променлива в паметта. Накрая се измерва цялостното време, необходимо за извършване на изчисленията. Полученото изображение като резултат се записва в отделен външен файл. Характерно за горната диаграма е, че нишките от дясната страна са $p - 1$ на брой, но поради ограничение на мястото и прегледност, е изобразена само една на брой.

2.1.1.3 Описание на командните параметри

Параметър	Описание	Стойност по подразбиране
-s или -size	Задава се размерът на изображението , което ще се генерира, като широчина и височина в брой пиксели	3840 x 2160 (4K)
-r или -rect	Задават се границите на областта от комплексната равнина, в която желаем да визуализираме множеството на Манделброт. Задава се чрез подаване на четири числа, разделени със знака „:“, които представляват съответно x-координати и y-координати на избраната област	-0.6386:-0.5986: 0.4486:0.4686 $z = a + i * b$ $a, b \in \mathbb{R}$ $a \in [-0.6386; -0.5986]$ $b \in [0.4486; 0.4686]$
-o или -out	Задаване име на изображението , което се получава в резултат на изпълнение на програмата	MandelWorld.png
-t или -threads	Задават се броя нишки , които ще работят паралелно	1
-g или -gran	Задава се грануларността (броя подзадания, които всяка нишка трябва да изпълни)	1 (възможно най-едрата)
-c или -cols	Задава се дали декомпозицията да е по колони	false
-q или -quiet	Задава се дали да не се визуализира информация за времената на отделните нишки	false
-h или -help	Задава се дали да се визуализира информация за това какви параметри поддържа програмата и начин на използване	false



Когато програмата не е в тих режим, за всяка нишка се визуализират следните съобщения:

Thread_01 released.

Thread_01 ready. Execution time was ... ms.

Общото време за работа на програмата се визуализира винаги и е в следния формат:

Total execution time is ... ms.

Програмата се стартира чрез shell скрипт по следния начин:

./executeMandelWorld <list-of-arguments>

<list-of-arguments> представлява множеството на входните параметри, които се подават при стартиране на програмата. Ако някои от тях липсват, тогава програмата се стартира с аргументите по подразбиране, описани в горната таблица.

Примерно стартиране на програмата е:

./executeMandelWorld -t10 -s2160x2160 -c

При горното стартиране на програмата, входните параметри са три на брой. Първият от тях е свързан с това, че програмата трябва да използва 10 на брой нишки. Вторият аргумент указва размера на изображението, което ще се генерира, в случая с размери 2160x2160px. Последният параметър говори за това, че декомпозицията, която ще се изпълни, ще бъде по колони.

2.1.2 Технологично проектиране

2.1.2.1 Използван език и външни библиотеки

За реализирането на приложението е използван езикът за програмиране *Java*. Начинът на стартиране на програмите е през терминал чрез *bash* скрипт.

За изпълнението на програмата са използвани две външни библиотеки под формата на *jar* файлове. Едната библиотека улеснява изчисленията с комплексни числа, тъй като видяхме, че множеството на Манделброт се дефинира за комплексната равнина. Това е библиотеката: *commons-math3-3.6.1.jar* (The Apache Commons Mathematics Library).

За обработката на аргументите, които се подават при вход на програмата, е използвана библиотеката *commons-cli-1.4.jar* (Apache Commons CLI).

2.1.2.2 Тестови среди

Изследванията са проведени на следните две машинни архитектури:

RMI тестова машина

Architecture: x86_64

CPU op-modes(s): 32-bit, 64-bit

Byte Order: Little Endian

CPU(s): 32 (16 физически)



Socket(s): 2

Core(s) per socket: 8

NUMA node(s): 2

Model name: Intel(R) Xeon(R) CP E5-2660 0 @ 2.20GHz

L1d cache: 32KB

L1i cache: 32KB

L2 cache: 256KB

L3 cache: 20480KB

Личен лаптоп

Processor: AMD Ryzen 7 3700U with Radeon Vega Mobile Gfx 2.30 GHz

CPU(s): 4 (8 логически с хипертрединг)

CPU op-modes(s): 32-bit, 64-bit

Base Clock: 2.3GHz

L1 cache: 384KB

L2 cache: 2MB

L3 cache: 4MB

Installed RAM: 16 GB

2.1.2.3 Особености на програмата и работа с нишките

Създаването на нишки става последователно чрез задаването на идентификационен номер (id) на нишка и поредица от параметри, които определят работата на нишката:

```
workers = new Thread[threads];

for (int j = 1; j < threads; j++) {

    WorkerStatic r = new WorkerStatic(j, quiet,maxIterations,
                                     width,height,taskPixWidth, taskPixHeight, rows, cols,
                                     tasks, byCols, threads);

    Thread t = new Thread(r);

    t.start();

    workers[j] = t;

}
```

След разпределянето и стартирането на отделните нишки, главната нишка също преминава в режим на изчисление, както и останалите нишки. Това става с извикването директно на метода run(), който е подобен на start() с тази разлика, че вече не се извиква нова нишка, а вече текущият ход на програмата продължава директно в нишката:

```
new WorkerStatic(0, quiet, maxIterations, width, height, taskPixWidth,
                taskPixHeight, rows, cols, tasks, byCols, threads).run();
```

След като главната нишка приключи със своите задачи, тя изчаква последователно всяка една от останалите нишки да приключи. Ако дадена нишка не е готова, главната нишка се приспива, докато не получи сигнал от нишката, че вече е приключила. След това се преминава към следващата нишка и така докрая. Това става чрез метода join():



```
for (int j = 1; j < threads; j++) {  
    try {  
        workers[j].join();  
    } catch (Exception e) {  
        e.printStackTrace();  
    }  
}
```

2.2 Реализация с динамично централизирано балансиране

2.2.1 Функционално проектиране

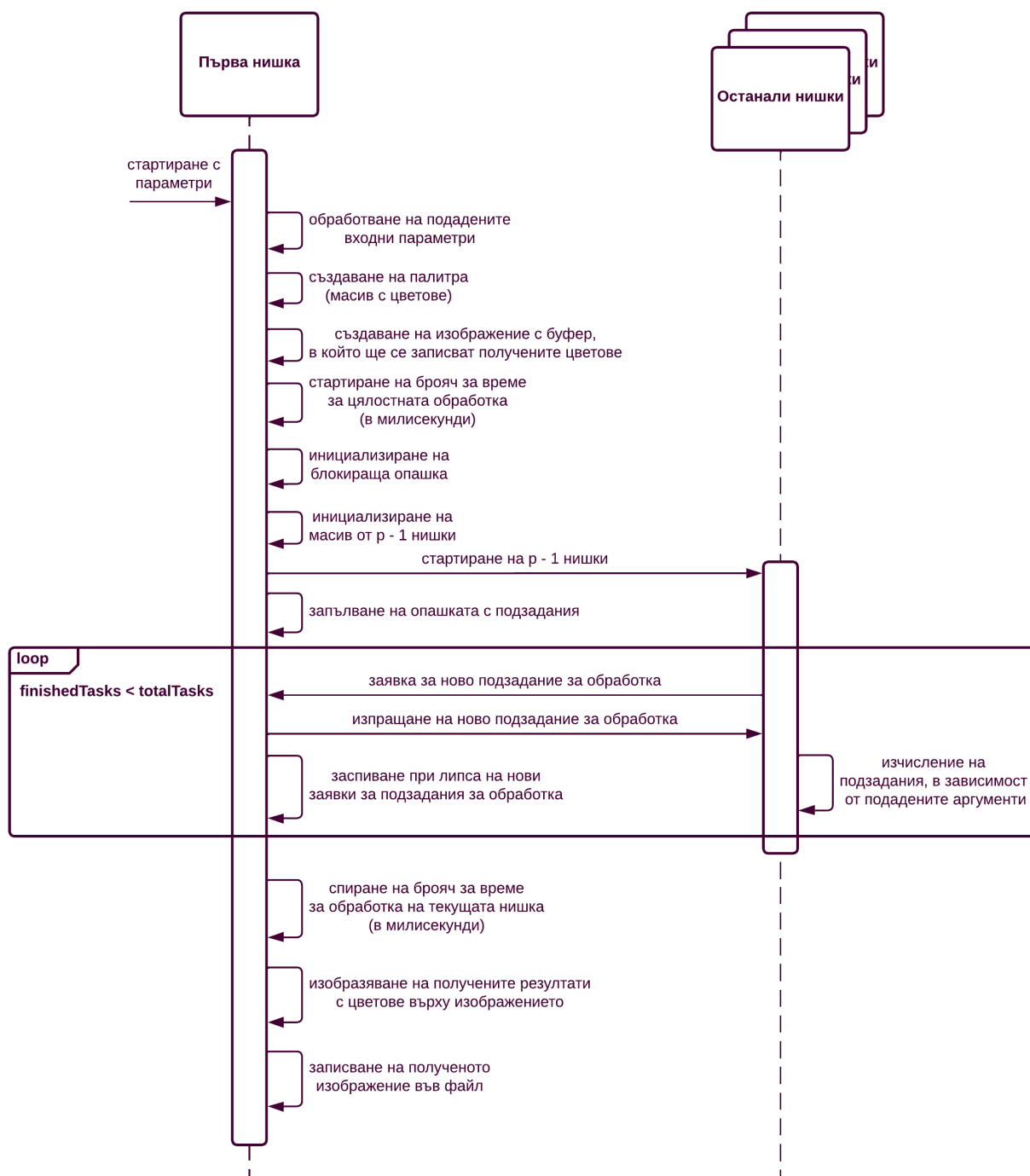
2.2.1.1 Модел на програмата

Моделът на програмата е ясно изразена йерархична Master/Slave архитектура, при която имаме декомпозиция по управление. Характерно за този случай е, че винаги имаме една главна (master) нишка, която не извършва същата работа като останалите нишки, а отговаря само за координирането и синхронизирането на отделните задачи. В началото *master* нишката раздава последователно задачите на останалите нишки, които след като приключат, получават нови задачи от нея. Целият този процес по координация и комуникация с *master* нишката води до известно забавяне в паралелния алгоритъм.

При този модел имаме декомпозиция по код, а не по данни. Това е така, защото главната нишка има различни задачи, а именно да разпределя заданията измежду останалите $p - 1$ на брой нишки (slaves). Може да се счита, че това вероятно подобрява производителността, тъй като не съществуват нишки, които да остават за дълго време без работа, при условие, че има още задачи, което може да стане при статичното циклично балансиране. От друга страна обаче, процесите по раздаване на нови задачи от главната нишка отнемат време, особено ако много нишки приключат в един и същ момент. Това води до формиране на тясно място (bottleneck), тъй като логическата топология е централизирана („звезда“), която има своите недостатъци по отношение на натовареността на централния възел (концентратора).

При динамичното централизирано балансиране отделните нишки не получават своите задачи предварително въз основа на своя индекс. Задачите им се назначават динамично по време на изпълнение на програмата. Това става чрез т.нар. „thread pool“, който позволява рециклиране на нишките и тяхната повторна работа след приключване на дадено задание. За да проверим твърдението в [4], настоящият проект ще реализира динамично централизирано балансиране по два начина – без използването на готовата вътрешна библиотека `java.util.concurrent.Executors` и вариант с използването ѝ. Ще реализираме двата начина с цел да проверим закъснението, което готовите функции може да ни генерират, както беше коментирано по-рано.

2.2.1.2 Диаграма на последователностите



Фигура 8: Диаграма на последователностите за реализация с динамично централизирано балансиране

Диаграмата на последователностите (UML Sequence Diagram) показва стъпките, извършвани от програмата, по време на динамично централизирано балансиране. Чрез цикъл са изобразени постоянните процеси по комуникация между главната нишка и останалите нишки. Забелязваме, че процесите, които стоят в началото и в края на програмата са аналогични на тези при статично циклично балансиране.



2.2.1.3 Описание на командните параметри

2.2.1.3.1 Входни параметри при реализация без библиотеката „ExecutorService“

Параметър	Описание	Стойност по подразбиране
-s или -size	Задава се размерът на изображението , което ще се генерира, като широчина и височина в брой пиксели	3840 x 2160 (4K)
-r или -rect	Задават се границите на областта от комплексната равнина, в която желаем да визуализираме множеството на Манделброт. Задава се чрез подаване на четири числа, разделени със знака „:“, които представляват съответно x-координати и y-координати на избраната област	-0.6386:-0.5986: 0.4486:0.4686 $z = a + i * b$ $a, b \in \mathbb{R}$ $a \in [-0.6386; -0.5986]$ $b \in [0.4486; 0.4686]$
-o или -out	Задаване име на изображението , което се получава в резултат на изпълнение на програмата	MandelWorldDynamic CustomThreadPool.png
-t или -threads	Задават се броя нишки , които ще работят паралелно	2
-g или -gran	Задава се грануларността (броя подзадания, които всяка нишка трябва да изпълни)	1 (възможно най-едрата)
-c или -cols	Задава се дали декомпозицията да е по колони	false
-q или -quiet	Задава се дали да не се визуализира информация за броя обработени подзадания на отделните нишки	false
-h или -help	Задава се дали да се визуализира информация за това какви параметри поддържа програмата и начин на използване	false

Когато програмата не е в тих режим, за всяка нишка се визуализират броят задачи, извършени от нишката. Например:

3 tasks done by this thread.

Общото време за работа на програмата се визуализира винаги и е в следния формат:

Total execution time is ... ms.

Програмата се стартира чрез bash скрипт по следния начин:

./executeMandelWorld <list-of-arguments>



<list-of-arguments> представлява множеството на входните параметри, които се подават при стартиране на програмата. Ако някои от тях липсват, тогава програмата се стартира с аргументите по подразбиране, описани в горната таблица.

Примерно стартиране на програмата е:

```
./executeMandelWorld -t 16 -s 2160x2160
```

При горното стартиране на програмата входните параметри са два на брой. Първият от тях е свързан с това, че програмата трябва да използва 16 на брой нишки. Вторият аргумент указва размерът на изображението, което ще се генерира, в случая с размери 2160x2160px.

2.2.1.3.2 Входни параметри при реализация с библиотеката „ExecutorService“

Параметър	Описание	Стойност по подразбиране
-s или -size	Задава се размерът на изображението , което ще се генерира, като широчина и височина в брой пиксели	3840 x 2160 (4K)
-r или -rect	Задават се границите на областта от комплексната равнина, в която желаем да визуализираме множеството на Манделброт. Задава се чрез подаване на четири числа, разделени със знака „:“, които представляват съответно x-координати и y-координати на избраната област	$-0.6386;-0.5986:0.4486:0.4686$ $z = a + i * b$ $a, b \in \mathbb{R}$ $a \in [-0.6386; -0.5986]$ $b \in [0.4486; 0.4686]$
-o или -out	Задаване име на изображението , което се получава в резултат на изпълнение на програмата	MandelWorldDynamic.png
-t или -threads	Задават се броят нишки , които ще работят паралелно	2
-g или -gran	Задава се грануларността (условно, броя подзадания, които всяка нишка трябва да изпълни)	1 (възможно най-едрата)
-h или -help	Задава се дали да се визуализира информация за това какви параметри поддържа програмата и начин на използване	false

Общото време за работа на програмата се визуализира винаги и е в следния формат:

Total execution time is ... ms.

Програмата се стартира чрез bash скрипт по следния начин:

```
./executeMandelWorld <list-of-arguments>
```



<list-of-arguments> представлява множеството на входните параметри, които се подават при стартиране на програмата. Ако някои от тях липсват, тогава програмата се стартира с аргументите по подразбиране, описани в горната таблица.

Примерно стартиране на програмата е:

```
./executeMandelWorld -t 10 -s 2160x2160
```

При горното стартиране на програмата входните параметри са два на брой. Първият от тях е свързан с това, че програмата трябва да използва 10 на брой нишки. Вторият аргумент указва размерът на изображението, което ще се генерира, в случая с размери 2160x2160px.

2.2.2 Технологично проектиране

2.2.2.1 Използван език и външни библиотеки

За реализирането на приложението е използван езикът за програмиране *Java*. Начинът на стартиране на програмите е през терминал чрез *bash* скрипт.

За изпълнението на програмата са използвани две външни библиотеки под формата на jar файлове. Едната библиотека улеснява изчисленията с комплексни числа, тъй като видяхме, че множеството на Манделброт се дефинира за комплексната равнина. Това е библиотеката: *commons-math3-3.6.1.jar* (The Apache Commons Mathematics Library).

За обработката на аргументите, които се подават при вход на програмата, е използвана библиотеката *commons-cli-1.4.jar* (Apache Commons CLI).

Вътрешната библиотека *java.util.concurrent.Executors* се използва в едната от реализациите. За другата имплементация се разчита на собственооръчно написана блокираща опашка.

2.2.2.2 Тестови среди

Изследванията са проведени на следните две машинни архитектури:

RMI тестова машина

Architecture: x86_64

CPU op-modes(s): 32-bit, 64-bit

Byte Order: Little Endian

CPU(s): 32 (16 физически)

Socket(s): 2

Core(s) per socket: 8

NUMA node(s): 2

Model name: Intel(R) Xeon(R) CP E5-2660 0 @ 2.20GHz

L1d cache: 32KB

L1i cache: 32KB

L2 cache: 256KB

L3 cache: 20480KB



Личен лаптоп

Processor: AMD Ryzen 7 3700U with Radeon Vega Mobile Gfx 2.30 GHz

CPU(s): 8 (4 физически)

CPU op-modes(s): 32-bit, 64-bit

Base Clock: 2.3GHz

L1 cache: 384KB

L2 cache: 2MB

L3 cache: 4MB

Installed RAM: 16 GB

2.2.2.3 Особености на програмата и работа с нишките

2.2.2.3.1 Особености при реализация без библиотеката „ExecutorService“

В тази имплементация не се разчита на библиотеката *java.util.concurrent.Executors*, за да може се оцени липсата на свръхтовар, породен от употребата на библиотеки. За целта се използва Java обект от клас *ArrayBlockingQueue<Runnable>*. Тази колекция от тип „блокираща опашка“ поддържа операции по изчакване, ако се опитаме да добавим елемент, а тя е вече пълна.

Главната нишка (master) има за задача да запълни блокиращата опашка с отделните подзадания. След всяка приета нова задача от останалите нишки, броят от извършени задачи от дадената нишка се увеличава с единица, с цел накрая да бъде изведен общия брой задачи, изпълнени от всяка нишка:

```
public void run() {  
    this.thread = Thread.currentThread();  
    while(!isStopped()) {  
        try{  
            Runnable runnable = (Runnable)taskQueue.take();  
            ++countTasks;  
            runnable.run();  
        } catch(Exception e) { }  
    }  
}
```

След това основната нишка изчаква, докато всички задачи са изпълнени, преди да предизвика прекъсване на останалите нишки, реферирайки към тях с метода *interrupt()*:

```
while(!this.taskQueue.isEmpty()) {  
    try {  
        Thread.sleep(20);  
    } catch (InterruptedException e) { e.printStackTrace(); }  
}
```



2.2.2.3.2 Особености при реализация с библиотеката „ExecutorService“

В тази имплементация се разчита на библиотеката *java.util.concurrent.Executors*, за да може се оцени евентуалното наличие на свръхтовар, породен от употребата на библиотеки.

Разчита се на т.нар. „FixedThreadPool“, за който е характерно, че се състои от фиксиран брой нишки, като ако в опашката има повече задачи, отколкото налични нишки, задачите не се обработват, докато не се освободи нишка. Първоначално, главната нишка (master) отговаря за създаването на $p - 1$ останали нишки (slaves). Впоследствие, те биват инициализирани и стартирани с помощта на библиотеката:

```
for (int i = 0; i < rows; i++) {  
    pool.execute(tasks[i]);  
}
```

Характерно за метода *execute(Runnable command)* на *Executor.java* обаче е, че според документацията, дадената команда се изпълнява „в определено време в бъдещето“. Това създава неопределеност, когато се разчита на тази имплементация, която в този смисъл не е толкова надеждна, когато става въпрос за ускорението, целящо да се постигне в една паралелна програма. В това отношение, наша собствена реализация на тези методи би била по-добрият избор, тъй като ще имаме повече възможности за управление и контрол над програмата.

Накрая се преминава към организирано изключване, което се състои в привършване на вече започнатите задачи и спиране на приемането на нови задачи. Това се реализира чрез метода *shutdown()*. Изчакването от страна на главната нишка по отношение на вече приетите задачи се осъществява чрез метода *awaitTermination(long timeout, TimeUnit unit)*:

```
pool.shutdown();  
  
try {  
    pool.awaitTermination(Long.MAX_VALUE, TimeUnit.NANOSECONDS);  
} catch (InterruptedException e) {  
    e.printStackTrace();  
}
```

Отново, в неговата документация може да се забележи непредвиденост по отношение на времето на приключване и как то се определя.

След това програмата завършва с обичайните дейности, които бяха характерни и при реализацията със статично циклично балансиране, а именно засичане на време на приключване и изчисляване на общо време за изпълнение, генериране на изображение върху канава и записване във файл.



3. Тестване. Настройка. Внедряване

Всички тестови случаи са проведени при 1024 максимален брой итерации като параметър. Направени са опити за увеличаването му, с цел постигане на по-голяма изчислителна мощност и евентуално по-добро ускорение, но тестовите показаха доста сходни резултати.

3.1 Тестване и настройка на входните параметри

3.1.1 Резултати при реализация със статично циклично балансиране

3.1.1.1 Тестов план

В представения тестов план под формата на таблица са използвани следните означения на колоните:

p – паралелизъм (броят нишки)

g – грануларност

$T_p^{(i)}$ – време за изпълнение при паралелизъм p , получено на i -тия тест

S_p – ускорение при паралелизъм p

E_p – ефективност при паралелизъм p

Тестова машина:		rmi.yaht.net						
Област:		-0.6386 : -0.5986 : 0.4486 : 0.4686						
Балансиране:		статично циклично балансиране						
Макс. брой итерации:		1024						
Декомпозиция:		по редове						
Размер:		3840 x 2160 (4K)						
#	p	g	$T_p^{(1)}$	$T_p^{(2)}$	$T_p^{(3)}$	$T_p = \min(T_p^{(i)})$	$S_p = T_1/T_p$	$E_p = S_p/p$
1	1	1	15861	15841	15884	15841	1	1
2	2	1	12406	12415	12874	12406	1.2768822	0.63844108
3	4	1	10061	9984	10120	9984	1.5866386	0.39665966
4	8	1	6247	6299	6332	6247	2.5357772	0.31697215
5	12	1	4695	4581	4636	4581	3.4579786	0.28816488
6	16	1	3777	3804	4080	3777	4.1940694	0.26212934
7	20	1	3345	3581	3330	3330	4.7570571	0.23785285
8	24	1	3154	2846	3030	2846	5.5660576	0.23191907
9	28	1	2743	2827	2763	2743	5.7750638	0.20625228
10	32	1	2533	2565	2501	2501	6.3338665	0.19793333
11	1	4	15866	15873	15862	15862	1	1
12	2	4	9766	9762	9702	9702	1.6349206	0.81746032
13	4	4	5663	5757	5814	5663	2.8009889	0.70024722
14	8	4	3357	3364	3333	3333	4.7590759	0.59488449
15	12	4	2486	2432	2453	2432	6.5222039	0.543517
16	16	4	1936	1983	2001	1936	8.1931818	0.51207386



17	20	4	1858	1683	1717	1683	9.4248366	0.47124183
18	24	4	1689	1792	1712	1689	9.3913558	0.39130649
19	28	4	1650	1671	1674	1650	9.6133333	0.34333333
20	32	4	1570	1551	1626	1551	10.22695	0.3195922
21	1	10	15849	15901	15896	15849	1	1
22	2	10	9118	9155	9066	9066	1.74818	0.87409001
23	4	10	4975	5159	5218	4975	3.1857286	0.79643216
24	8	10	2724	2701	2773	2701	5.8678267	0.73347834
25	12	10	2030	1990	1997	1990	7.9643216	0.66369347
26	16	10	1671	1612	1622	1612	9.8318859	0.61449287
27	20	10	1763	1738	1599	1599	9.9118199	0.49559099
28	24	10	1635	1625	1593	1593	9.9491525	0.41454802
29	28	10	1491	1471	1504	1471	10.774303	0.38479654
30	32	10	1442	1382	1397	1382	11.468162	0.35838007

Тестова машина:			rmi.yaht.net					
Област:			-0.6386 : -0.5986 : 0.4486 : 0.4686					
Балансиране:			статично цилично балансиране					
Макс. брой итерации:			1024					
Декомпозиция:			по колонии					
Размер:			3840 x 2160 (4K)					
#	p	g	$T_p^{(1)}$	$T_p^{(2)}$	$T_p^{(3)}$	$T_p = \min(T_p^{(i)})$	$S_p = T_V/T_p$	$E_p = S_p/p$
1	1	1	15649	15688	15666	15649	1	1
2	2	1	9862	9798	9723	9723	1.6094827	0.80474133
3	4	1	7285	7393	7334	7285	2.1481126	0.53702814
4	8	1	5046	5083	5036	5036	3.1074265	0.38842832
5	12	1	4121	4192	4118	4118	3.8001457	0.31667881
6	16	1	3319	3313	3268	3268	4.7885557	0.29928473
7	20	1	3118	2938	2776	2776	5.6372478	0.28186239
8	24	1	2576	2648	2626	2576	6.0749224	0.25312177
9	28	1	2334	2329	2321	2321	6.7423524	0.2407983
10	32	1	2095	2228	2199	2095	7.4696897	0.2334278
11	1	4	15635	15668	15674	15635	1	1
12	2	4	8781	8766	8767	8766	1.7835957	0.89179786
13	4	4	5366	5361	5344	5344	2.9257111	0.73142777
14	8	4	3080	2994	3063	2994	5.2221109	0.65276386
15	12	4	2175	2194	2177	2175	7.1885057	0.59904215
16	16	4	2016	2067	1923	1923	8.1305252	0.50815783
17	20	4	1841	1784	1850	1784	8.7640135	0.43820067
18	24	4	1732	1746	1770	1732	9.0271363	0.37613068
19	28	4	1622	1621	1577	1577	9.9143944	0.35408551
20	32	4	1529	1481	1455	1455	10.745704	0.33580326



21	1	10	15702	15637	15653	15637	1	1
22	2	10	8825	8784	8619	8619	1.8142476	0.9071238
23	4	10	4671	4659	4591	4591	3.4060118	0.85150294
24	8	10	2522	2577	2514	2514	6.2199682	0.77749602
25	12	10	1919	1893	1857	1857	8.4205708	0.70171423
26	16	10	1809	1586	1907	1586	9.8593947	0.61621217
27	20	10	1653	1698	1794	1653	9.4597701	0.47298851
28	24	10	1582	1508	1627	1508	10.369363	0.43205681
29	28	10	1444	1467	1459	1444	10.828947	0.38674812
30	32	10	1564	1411	1443	1411	11.082211	0.3463191

Тестова машина:		rmi.yaht.net						
Област:		-1.5 : 0.7 : -1 : 1						
Балансиране:		статично цилично балансиране						
Макс. брой итерации:		1024						
Декомпозиция:		по редове						
Размер:		3840 x 2160 (4K)						
#	p	g	$T_p^{(1)}$	$T_p^{(2)}$	$T_p^{(3)}$	$T_p = \min(T_p^{(i)})$	$S_p = T_1/T_p$	$E_p = S_p/p$
1	1	1	54514	54678	54552	54514	1	1
2	2	1	28546	28265	28399	28265	1.928675	0.96433752
3	4	1	23329	23233	23378	23233	2.3464038	0.58660096
4	8	1	14700	14356	14626	14356	3.7972973	0.47466216
5	12	1	10162	10215	10164	10162	5.3644952	0.44704126
6	16	1	7988	7950	7976	7950	6.8571069	0.42856918
7	20	1	6587	6790	6903	6587	8.2759982	0.41379991
8	24	1	6190	6180	6135	6135	8.8857376	0.37023907
9	28	1	6061	5610	5420	5420	10.057934	0.35921191
10	32	1	5519	5425	5149	5149	10.587299	0.33085308
11	1	4	54401	54540	54523	54401	1	1
12	2	4	28077	28414	28279	28077	1.9375646	0.96878228
13	4	4	16058	15479	15361	15361	3.5415012	0.8853753
14	8	4	8291	8296	8314	8291	6.5614522	0.82018152
15	12	4	6249	5864	5963	5864	9.2771146	0.77309288
16	16	4	4759	4844	4835	4759	11.431183	0.71444894
17	20	4	5039	5035	5177	5035	10.804568	0.5402284
18	24	4	4682	4797	4700	4682	11.61918	0.48413249
19	28	4	4562	4517	4568	4517	12.043613	0.43012904
20	32	4	4360	4294	4387	4294	12.669073	0.39590854
21	1	10	54492	54564	54451	54451	1	1
22	2	10	28486	28458	28453	28453	1.9137174	0.95685868
23	4	10	15104	15033	14970	14970	3.6373413	0.90933534
24	8	10	7958	7887	7962	7887	6.9038925	0.86298656



25	12	10	5661	5580	5638	5580	9.7582437	0.81318698
26	16	10	4830	4714	4668	4668	11.664739	0.72904617
27	20	10	5156	5157	5231	5156	10.560706	0.5280353
28	24	10	4575	4776	4509	4509	12.07607	0.50316959
29	28	10	4518	4487	4485	4485	12.140691	0.43359611
30	32	10	4347	4273	4319	4273	12.743038	0.39821993

<p>Тестова машина: rmi.yaht.net</p> <p>Област: -1.5 : 0.7 : -1 : 1</p> <p>Балансиране: статично циклично балансиране</p> <p>Макс. брой итерации: 1024</p> <p>Декомпозиция: по колонии</p> <p>Размер: 3840 x 2160 (4K)</p>								
#	p	g	$T_p^{(1)}$	$T_p^{(2)}$	$T_p^{(3)}$	$T_p = \min(T_p^{(i)})$	$S_p = T_1/T_p$	$E_p = S_p/p$
1	1	1	54296	54345	54404	54296	1	1
2	2	1	35485	35440	35667	35440	1.5320542	0.76602709
3	4	1	27551	27206	27250	27206	1.9957362	0.49893406
4	8	1	14173	13886	14049	13886	3.9101253	0.48876566
5	12	1	11168	11210	11124	11124	4.8809781	0.40674817
6	16	1	8159	8216	8143	8143	6.6678128	0.4167383
7	20	1	7203	7441	7350	7203	7.5379703	0.37689851
8	24	1	6810	6506	6350	6350	8.5505512	0.35627297
9	28	1	5968	5561	6720	5561	9.7637116	0.34870398
10	32	1	5351	4925	5899	4925	11.024569	0.34451777
11	1	4	54423	54629	54452	54423	1	1
12	2	4	29130	29149	28746	28746	1.8932373	0.94661866
13	4	4	15463	14991	15430	14991	3.6303782	0.90759456
14	8	4	7972	8845	7886	7886	6.9012173	0.86265217
15	12	4	5541	5561	5545	5541	9.8218733	0.81848944
16	16	4	4553	4810	4588	4553	11.953218	0.7470761
17	20	4	4977	5082	4943	4943	11.010115	0.55050577
18	24	4	4667	4706	4624	4624	11.76968	0.49040333
19	28	4	4431	4476	4393	4393	12.388573	0.44244903
20	32	4	4275	4311	4291	4275	12.730526	0.39782895
21	1	10	54293	54370	54388	54293	1	1
22	2	10	27891	28299	28156	27891	1.9466136	0.9733068
23	4	10	14665	14677	14447	14447	3.7580813	0.93952032
24	8	10	7541	7710	7764	7541	7.1997083	0.89996353
25	12	10	5940	5635	5564	5564	9.757908	0.813159
26	16	10	4514	4594	4463	4463	12.165136	0.76032097
27	20	10	5023	5063	5108	5023	10.808879	0.54044396
28	24	10	4339	4712	4557	4339	12.512791	0.52136629



29	28	10	4467	4423	4522	4423	12.275153	0.43839831
30	32	10	4339	4310	4345	4310	12.596984	0.39365574

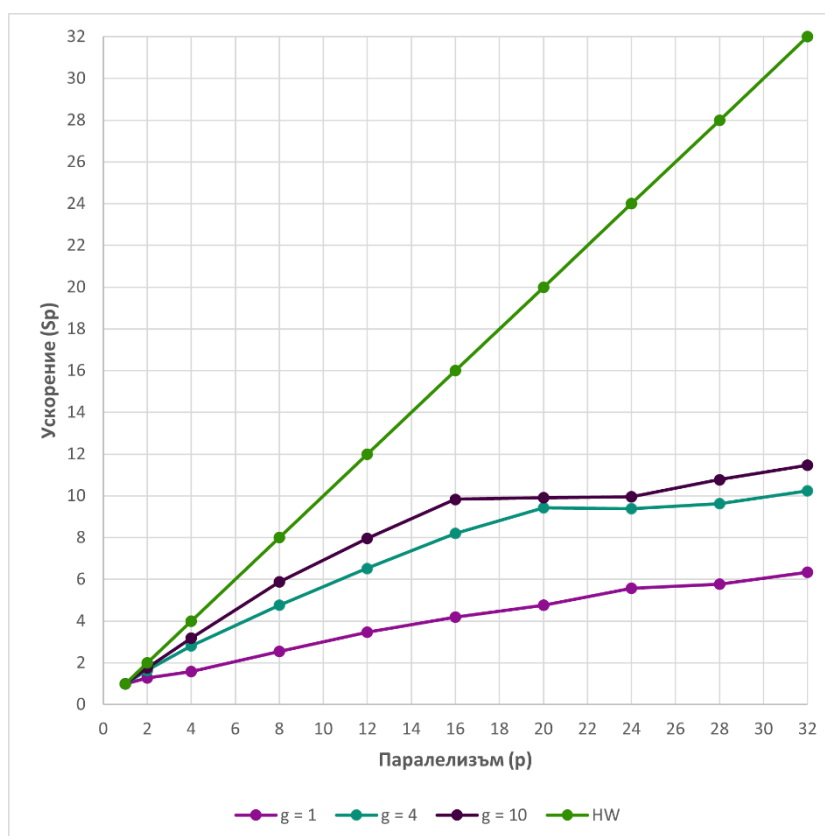
Тестова машина:			PC					
Област:			-0.6386 : -0.5986 : 0.4486 : 0.4686					
Балансиране:			статично цилично балансиране					
Макс. брой итерации:			1024					
Декомпозиция:			по колони					
Размер:			3840 x 2160 (4K)					
#	p	g	$T_p^{(1)}$	$T_p^{(2)}$	$T_p^{(3)}$	$T_p = \min(T_p^{(i)})$	$S_p = T_1/T_p$	$E_p = S_p/p$
1	1	1	10599	11715	11071	10599	1	1
2	2	1	8080	9302	9805	8080	1.3117574	0.65587871
3	4	1	5399	5414	7127	5399	1.9631413	0.49078533
4	6	1	5496	6132	6545	5496	1.9284934	0.32141557
5	8	1	5344	6082	5793	5344	1.9833458	0.24791823
6	1	4	9808	11010	10705	9808	1	1
7	2	4	7210	7538	7667	7210	1.3603329	0.68016644
8	4	4	5662	6371	6030	5662	1.7322501	0.43306252
9	6	4	5149	5576	5332	5149	1.9048359	0.31747265
10	8	4	4235	5015	5655	4235	2.3159386	0.28949233
11	1	10	10062	10566	10184	10062	1	1
12	2	10	6498	5993	5903	5903	1.704557	0.8522785
13	4	10	4176	4210	4083	4083	2.4643644	0.61609111
14	6	10	3914	4417	4904	3914	2.5707716	0.42846193
15	8	10	4229	4815	4891	4229	2.3792859	0.29741074
16	1	32	10240	10410	10326	10240	1	1
17	2	32	6688	7133	7389	6688	1.5311005	0.76555024
18	4	32	5497	5779	5503	5497	1.8628343	0.46570857
19	6	32	4656	5111	5239	4656	2.1993127	0.36655212
20	8	32	4082	4617	4712	4082	2.5085742	0.31357178
21	1	64	10403	11006	10766	10403	1	1
22	2	64	5755	6870	7908	5755	1.8076455	0.90382276
23	4	64	5399	5658	5165	5165	2.0141336	0.5035334
24	6	64	4638	5160	4995	4638	2.2429927	0.37383211
25	8	64	3746	4551	4041	3746	2.7770956	0.34713695

Тестова машина:			PC					
Област:			-1.5 : 0.7 : -1 : 1					
Балансиране:			статично цилично балансиране					
Макс. брой итерации:			1024					
Декомпозиция:			по колони					
Размер:			3840 x 2160 (4K)					

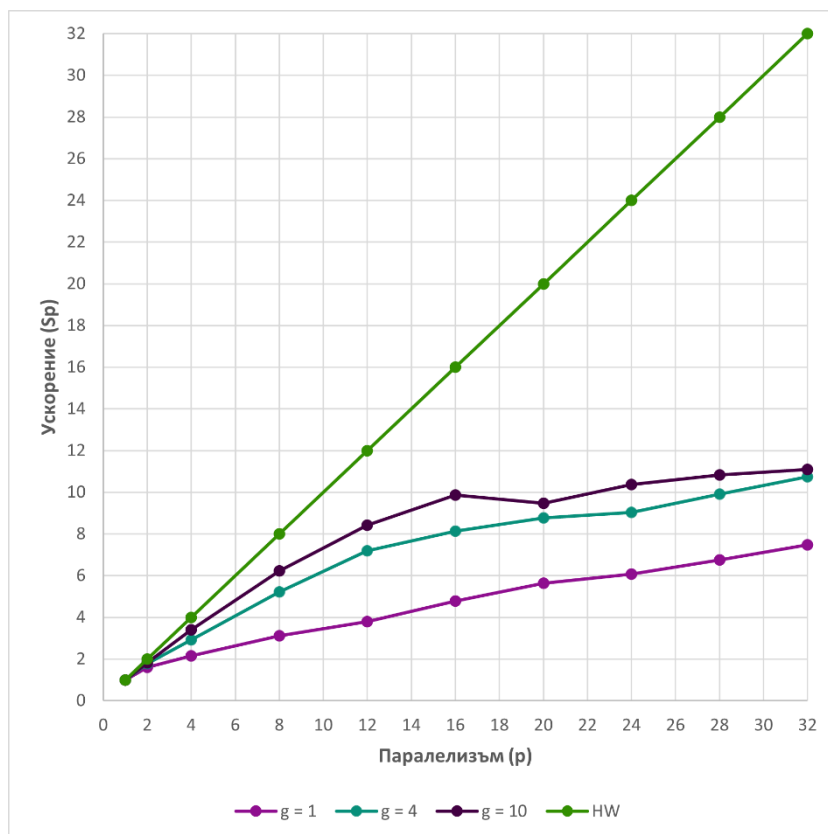


#	p	g	$T_p^{(1)}$	$T_p^{(2)}$	$T_p^{(3)}$	$T_p = \min(T_p^{(i)})$	$S_p = T_1/T_p$	$E_p = S_p/p$
1	1	32	35570	35346	38106	35346	1	1
2	2	32	17423	18404	19166	17423	2.0286977	1.01434885
3	4	32	14866	17740	20658	14866	2.3776403	0.59441006
4	6	32	16101	16664	14675	14675	2.408586	0.40143101
5	8	32	13863	15295	10535	10535	3.355102	0.41938776

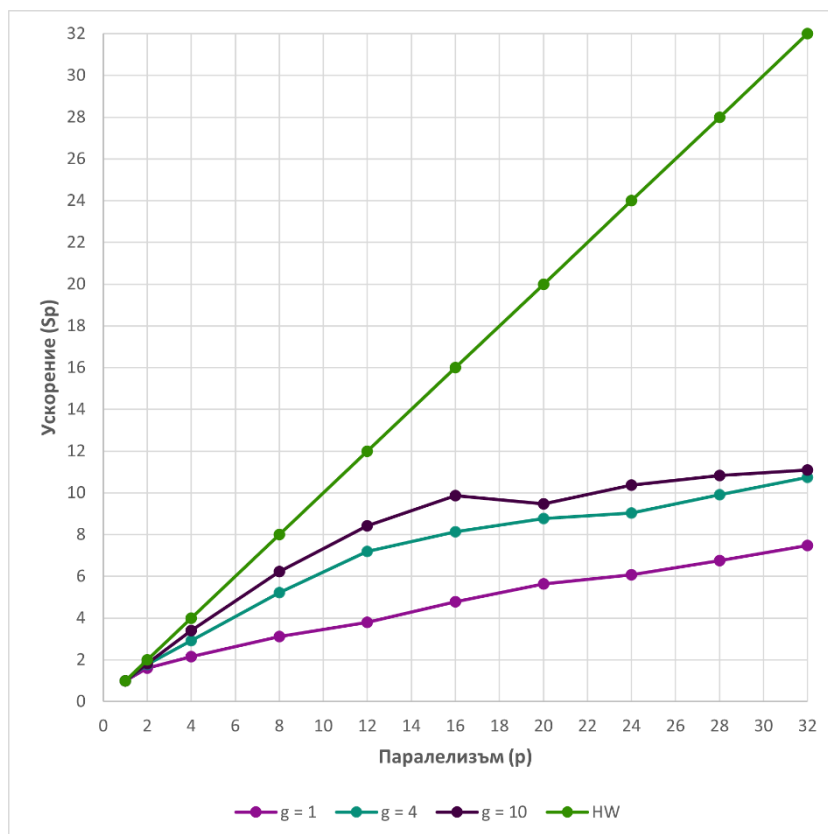
3.1.1.2 Графики



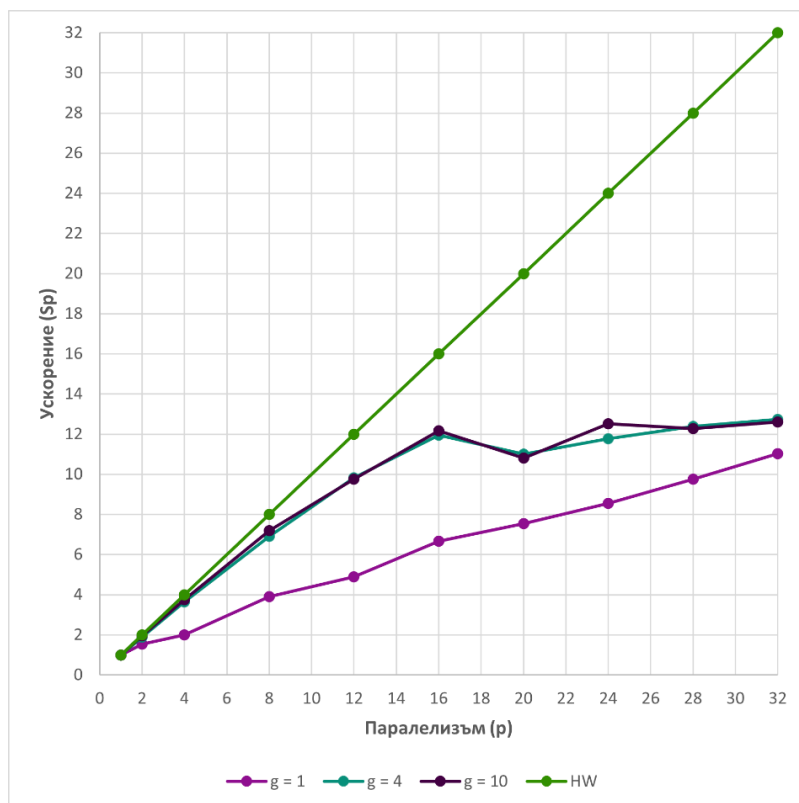
Фигура 9: Графика на ускорението при статично циклично балансиране, 1024 итерации, по редове, област: -0.6386:-0.5986:0.4486:0.4686, размер на генерирано изображение: 4K



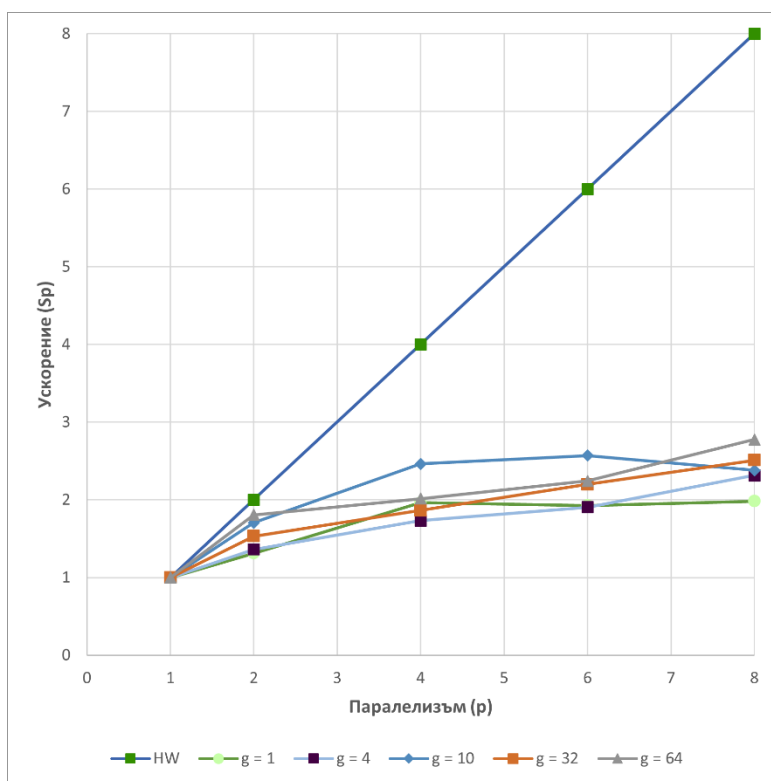
Фигура 10: Графика на ускорението при статично циклично балансиране, 1024 итерации, по колони, област: $-0.6386:-0.5986:0.4486:0.4686$, размер на генерирано изображение: 4K



Фигура 11: Графика на ускорението при статично циклично балансиране, 1024 итерации, по редове, област: $-1.5:0.7:-1:1$, размер на генерирано изображение: 4K



Фигура 12: Графика на ускорението при статично циклично балансиране, 1024 итерации, по колони, област: $-1.5:0.7:-1:1$, размер на генерирано изображение: 4K



Фигура 13: Графика на ускорението на четириядрена машина при статично циклично балансиране, 1024 итерации, по колони, област: $-0.6386:-0.5986:0.4486:0.4686$, размер на генерирано изображение: 4K



3.1.1.3 Изводи

От кривите на ускорението се забелязва, че при избраната малка област от теста на Манделброт, декомпозицията по редове води до малко по-високи резултати за ускорението, отколкото декомпозицията по колонии. Въпреки това, и двете са много сходни. Отчасти, това се дължи на сложността на избраната област и спецификата на множеството на Манделброт. Забелязваме, че максималното получено ускорение на практика не надминава 12.

Наблюдава се и че при най-едрата грануларност, се постига двойно по-малко ускорение. Това е очаквано, защото едрата грануларност може да доведе до проблеми с балансирането, особено в небалансирани проблеми, какъвто е тестът на Манделброт. При него няма как да не настъпи ситуация, в която дадена нишка да има по-сложна задача, която да ѝ отнеме повече време за обработка, в сравнение с тази на някоя друга нишка. За да се постигне желаното ускорение е много важно във всеки един момент всички или поне повечето нишки да са ангажирани със задачи, за да може последователната част на алгоритъма да бъде сведена до минимум.

Причината за по-добрите резултати при нарастване на коефициента на грануларност е, че в този случай броят подзадания се увеличава и има по-голям шанс отделните нишки да получат по няколко по-лесни и по-трудни задачи за изчисление.

При тестовите случаи проведени на четириядрена машина се забелязва случай на близка стойност до хардуерния паралелизъм. Това е суперлинейна аномалия, която може да се дължи на няколко причини. От една страна, няма как да изключим възможността за статистическа грешка, която може да се дължи и на самото измерване. От друга страна, възможно е и ситуация, в която при избраната грануларност и паралелизъм, размерът на отделните подзадания да е станал толкова малък, че да се е вместил цялостно в L1 кеша за данни. В такива случаи говорим за асоциативност на L1 D-Cache. Това би създавало по-малко натоварване и по-рядко обръщане към операционната система, което би могло да доведе до тази немонотонна, спрямо останалите резултати, аномалия.

3.1.2 Резултати при реализация с динамично централизирано балансиране без използване на библиотеката „ExecutorService“

3.1.2.1 Тестов план

В представения тестов план под формата на таблица са използвани следните означения на колоните:

p – паралелизъм (брой нишки)

g – грануларност

T_p⁽ⁱ⁾ – време за изпълнение при паралелизъм p, получено на i-тия тест

S_p – ускорение при паралелизъм p

E_p – ефективност при паралелизъм p



Тестова машина:		rmi.yaht.net						
Област:		-0.6386 : -0.5986 : 0.4486 : 0.4686						
Балансиране:		динамично централизирано балансиране (без библиотека "ExecutorService")						
Макс. брой итерации:		1024						
Декомпозиция:		по редове						
Размер:		3840 x 2160 (4K)						
#	p	g	$T_p^{(1)}$	$T_p^{(2)}$	$T_p^{(3)}$	$T_p = \min(T_p^{(i)})$	$S_p = T_1/T_p$	$E_p = S_p/p$
1	1	1	15861	15841	15884	15841	1	1
2	2	1	15802	15840	16165	15802	1.002468	0.50123402
3	4	1	10123	10101	10167	10101	1.5682606	0.39206514
4	8	1	6189	6146	6339	6146	2.5774487	0.32218109
5	12	1	4734	4601	4670	4601	3.4429472	0.28691227
6	16	1	3840	3803	3769	3769	4.2029716	0.26268573
7	20	1	3236	3290	3314	3236	4.895241	0.24476205
8	24	1	3030	3056	2888	2888	5.4851108	0.22854628
9	28	1	2729	2624	2730	2624	6.0369665	0.21560595
10	32	1	2560	2561	2563	2560	6.1878906	0.19337158
11	1	4	15866	15873	15862	15862	1	1
12	2	4	15778	16665	15847	15778	1.0053239	0.50266193
13	4	4	5690	5648	5625	5625	2.8199111	0.70497778
14	8	4	2680	2656	2657	2656	5.9721386	0.74651732
15	12	4	1835	1872	1860	1835	8.6441417	0.72034514
16	16	4	1570	1577	1624	1570	10.103185	0.63144904
17	20	4	1744	1665	1521	1521	10.428665	0.52143327
18	24	4	1478	1497	1596	1478	10.73207	0.4471696
19	28	4	1381	1441	1468	1381	11.48588	0.41020999
20	32	4	1380	1385	1373	1373	11.552804	0.36102513
21	1	10	15849	15901	15896	15849	1	1
22	2	10	16158	15819	15760	15760	1.0056472	0.5028236
23	4	10	5684	5701	5704	5684	2.7883533	0.69708832
24	8	10	2626	2642	2653	2626	6.0354151	0.75442688
25	12	10	1834	1845	1843	1834	8.6417666	0.72014722
26	16	10	1596	1533	1501	1501	10.558961	0.65993504
27	20	10	1424	1580	1504	1424	11.129916	0.55649579
28	24	10	1421	1442	1438	1421	11.153413	0.46472555
29	28	10	1381	1387	1404	1381	11.476466	0.4098738
30	32	10	1335	1351	1365	1335	11.87191	0.37099719



Тестова машина:		rmi.yaht.net						
Област:		-0.6386 : -0.5986 : 0.4486 : 0.4686						
Балансиране:		динамично централизирано балансиране (без библиотека "ExecutorService")						
Макс. брой итерации:		1024						
Декомпозиция:		по колонии						
Размер:		3840 x 2160 (4K)						
#	p	g	$T_p^{(1)}$	$T_p^{(2)}$	$T_p^{(3)}$	$T_p = \min(T_p^{(i)})$	$S_p = T_1/T_p$	$E_p = S_p/p$
1	1	1	15649	15688	15666	15649	1	1
2	2	1	15702	15699	15678	15678	0.9981503	0.49907514
3	4	1	7472	7305	7405	7305	2.1422313	0.53555784
4	8	1	6322	6226	6210	6210	2.5199678	0.31499597
5	12	1	4212	4229	4211	4211	3.7162194	0.30968495
6	16	1	3419	3344	3657	3344	4.6797249	0.29248281
7	20	1	2825	2780	2806	2780	5.6291367	0.28145683
8	24	1	2502	2542	2664	2502	6.2545963	0.26060818
9	28	1	2406	2283	2493	2283	6.8545773	0.24480633
10	32	1	2137	2158	2255	2137	7.3228825	0.22884008
11	1	4	15635	15668	15674	15635	1	1
12	2	4	15523	15520	16059	15520	1.0074098	0.5037049
13	4	4	5659	5617	5706	5617	2.7835143	0.69587858
14	8	4	2673	2634	2679	2634	5.935839	0.74197988
15	12	4	1998	1923	1963	1923	8.1305252	0.67754377
16	16	4	1602	1619	1580	1580	9.8955696	0.6184731
17	20	4	1481	1542	1564	1481	10.557056	0.5278528
18	24	4	1480	1416	1519	1416	11.041667	0.46006944
19	28	4	1484	1496	1524	1484	10.535714	0.37627551
20	32	4	1430	1434	1422	1422	10.995077	0.34359617
21	1	10	15702	15637	15653	15637	1	1
22	2	10	15861	16021	15602	15602	1.0022433	0.50112165
23	4	10	5545	5494	5524	5494	2.8461959	0.71154896
24	8	10	2637	2639	2632	2632	5.9411094	0.74263868
25	12	10	1771	1826	1776	1771	8.8294749	0.73578957
26	16	10	1583	1504	1497	1497	10.445558	0.65284736
27	20	10	1464	1459	1500	1459	10.717615	0.53588074
28	24	10	1440	1451	1421	1421	11.004222	0.45850927
29	28	10	1420	1410	1420	1410	11.090071	0.39607396
30	32	10	1378	1400	1367	1367	11.438917	0.35746617



Тестова машина:		rmi.yaht.net						
Област:		-1.5 : 0.7 : -1 : 1						
Балансиране:		динамично централизирано балансиране (без библиотека "ExecutorService")						
Макс. брой итерации:		1024						
Декомпозиция:		по редове						
Размер:		3840 x 2160 (4K)						
#	p	g	$T_p^{(1)}$	$T_p^{(2)}$	$T_p^{(3)}$	$T_p = \min(T_p^{(i)})$	$S_p = T_1/T_p$	$E_p = S_p/p$
1	1	1	54514	54678	54552	54514	1	1
2	2	1	55389	55367	55093	55093	0.9894905	0.49474525
3	4	1	23922	23201	23321	23201	2.3496401	0.58741003
4	8	1	14295	14395	14385	14295	3.8135012	0.47668765
5	12	1	10303	10384	10345	10303	5.2910803	0.44092336
6	16	1	8248	8074	8195	8074	6.7517959	0.42198724
7	20	1	6912	6773	7059	6773	8.0487229	0.40243614
8	24	1	5929	5922	6184	5922	9.205336	0.38355567
9	28	1	6034	5811	5601	5601	9.7329048	0.34760374
10	32	1	5473	5500	5554	5473	9.9605335	0.31126667
11	1	4	53976	54540	54523	53976	1	1
12	2	4	55080	55118	55334	55080	0.9799564	0.48997821
13	4	4	20529	20386	19968	19968	2.703125	0.67578125
14	8	4	9164	8893	8963	8893	6.0694929	0.75868661
15	12	4	6145	6123	6109	6109	8.8354886	0.73629072
16	16	4	4943	4829	4855	4829	11.177469	0.69859184
17	20	4	4660	4686	4560	4560	11.836842	0.59184211
18	24	4	4571	4493	4458	4458	12.107672	0.50448632
19	28	4	4429	4429	4508	4429	12.18695	0.4352482
20	32	4	4399	4467	4300	4300	12.552558	0.39226744
21	1	10	54492	54564	54016	54016	1	1
22	2	10	54753	54814	54953	54753	0.9865396	0.49326978
23	4	10	18725	18823	18583	18583	2.9067427	0.72668568
24	8	10	8615	8893	8644	8615	6.2699942	0.78374927
25	12	10	5843	5889	5881	5843	9.2445661	0.77038051
26	16	10	5042	4686	4682	4682	11.53695	0.72105938
27	20	10	4534	4460	4521	4460	12.111211	0.60556054
28	24	10	4446	4425	4356	4356	12.400367	0.51668197
29	28	10	4321	4405	4415	4321	12.50081	0.4464575
30	32	10	4313	4369	4297	4297	12.570631	0.39283221



Тестова машина:		rmi.yaht.net						
Област:		-1.5 : 0.7 : -1 : 1						
Балансиране:		динамично централизирано балансиране (без библиотека "ExecutorService")						
Макс. брой итерации:		1024						
Декомпозиция:		по колонии						
Размер:		3840 x 2160 (4K)						
#	p	g	$T_p^{(1)}$	$T_p^{(2)}$	$T_p^{(3)}$	$T_p = \min(T_p^{(i)})$	$S_p = T_V/T_p$	$E_p = S_p/p$
1	1	1	54296	54345	54404	54296	1	1
2	2	1	55490	55360	55433	55360	0.98078035	0.49039017
3	4	1	27889	27556	28038	27556	1.97038757	0.49259689
4	8	1	13981	14176	14081	13981	3.88355625	0.48544453
5	12	1	11152	11354	11190	11152	4.8687231	0.40572692
6	16	1	8236	8181	8369	8181	6.63684146	0.41480259
7	20	1	7471	7771	7498	7471	7.26756793	0.3633784
8	24	1	6710	6191	6167	6167	8.80428085	0.36684504
9	28	1	6470	5843	5919	5843	9.29248674	0.33187453
10	32	1	6008	5581	5774	5581	9.72872245	0.30402258
11	1	4	54006	54526	54452	54006	1	1
12	2	4	55162	55285	55443	55162	0.97904354	0.48952177
13	4	4	20365	20210	20168	20168	2.67780643	0.66945161
14	8	4	9647	9698	9540	9540	5.66100629	0.70762579
15	12	4	6378	6168	6167	6167	8.75725636	0.72977136
16	16	4	4768	4909	4765	4765	11.333893	0.70836831
17	20	4	4992	4764	4831	4764	11.336272	0.5668136
18	24	4	4558	4546	4521	4521	11.9455873	0.4977328
19	28	4	4452	4425	4482	4425	12.2047458	0.43588378
20	32	4	4354	4281	4268	4268	12.653702	0.39542819
21	1	10	54036	54370	54388	54036	1	1
22	2	10	54991	54896	54869	54869	0.98481839	0.49240919
23	4	10	18965	18801	18823	18801	2.87410244	0.71852561
24	8	10	8624	8648	8771	8624	6.26576994	0.78322124
25	12	10	5932	6015	6029	5932	9.10923803	0.75910317
26	16	10	4737	4862	4745	4737	11.4072198	0.71295123
27	20	10	4600	4461	4404	4404	12.2697548	0.61348774
28	24	10	4453	4389	4424	4389	12.3116883	0.51298701
29	28	10	4408	4371	4347	4347	12.4306418	0.44395149
30	32	10	4337	4284	4265	4265	12.6696366	0.39592614



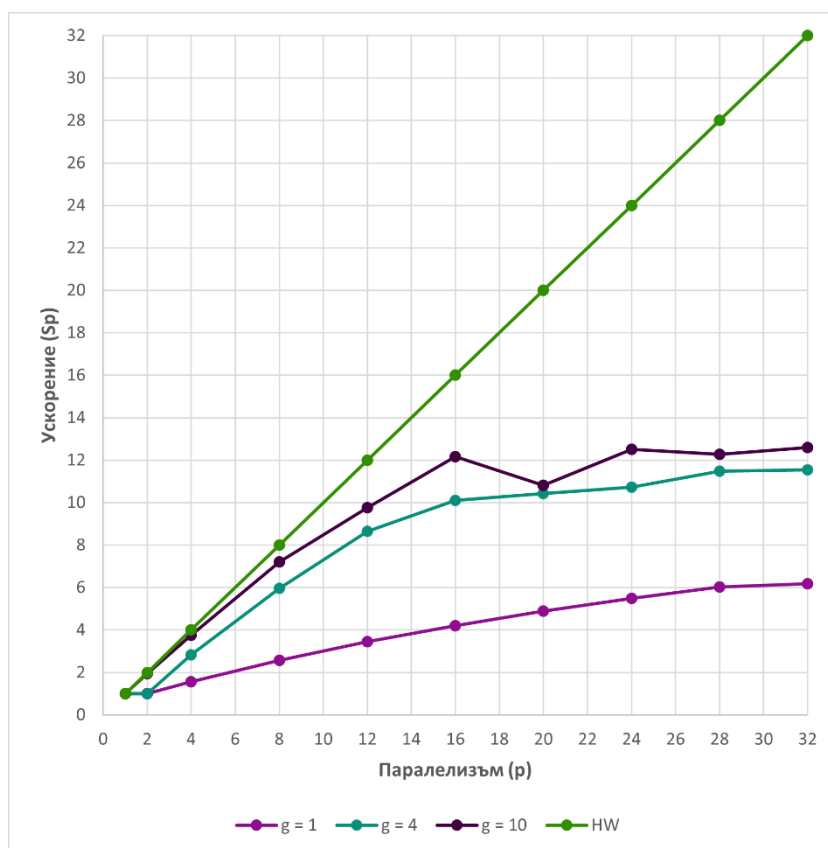
Тестова машина:			PC					
Област:			-0.6386 : -0.5986 : 0.4486 : 0.4686					
Балансиране:			динамично централизирано балансиране (без библиотека "ExecutorService")					
Макс. брой итерации:			1024					
Декомпозиция:			по редове					
Размер:			3840 x 2160 (4K)					
#	p	g	$T_p^{(1)}$	$T_p^{(2)}$	$T_p^{(3)}$	$T_p = \min(T_p^{(i)})$	$S_p = T_1/T_p$	$E_p = S_p/p$
1	1	1	10599	11715	11071	10599	1	1
2	2	1	10130	10290	10212	10130	1.0462981	0.52314906
3	4	1	5385	5542	5424	5385	1.9682451	0.49206128
4	6	1	4914	4845	5142	4845	2.1876161	0.36460268
5	8	1	4396	4384	4365	4365	2.4281787	0.30352234
6	1	4	10062	10566	10184	10062	1	1
7	2	4	10157	10656	10798	10157	0.9906468	0.49532342
8	4	4	4374	4398	4634	4374	2.3004115	0.57510288
9	6	4	3959	3997	4017	3959	2.5415509	0.42359182
10	8	4	3942	4786	4744	3942	2.5525114	0.31906393
11	1	10	10062	10566	10184	10062	1	1
12	2	10	11062	10268	10805	10268	0.9799377	0.48996884
13	4	10	4370	4628	4541	4370	2.3025172	0.57562929
14	6	10	3919	4040	3922	3919	2.5674917	0.42791528
15	8	10	3277	3253	3261	3253	3.0931448	0.3866431
16	1	32	10240	10410	10326	10240	1	1
17	2	32	10293	10130	10236	10130	1.0108588	0.50542942
18	4	32	4391	4298	4701	4298	2.3825035	0.59562587
19	6	32	3879	4005	4070	3879	2.6398556	0.43997594
20	8	32	4132	4751	4882	4132	2.4782188	0.30977735
21	1	64	10403	11006	10766	10403	1	1
22	2	64	10146	10158	10836	10146	1.0253302	0.51266509
23	4	64	4429	4624	4523	4429	2.3488372	0.5872093
24	6	64	3846	3848	3873	3846	2.7048882	0.4508147
25	8	64	3270	3334	3250	3250	3.2009231	0.40011538

Тестова машина:			PC					
Област:			-1.5 : 0.7 : -1 : 1					
Балансиране:			динамично централизирано балансиране (без библиотека "ExecutorService")					
Макс. брой итерации:			1024					
Декомпозиция:			по колони					
Размер:			3840 x 2160 (4K)					

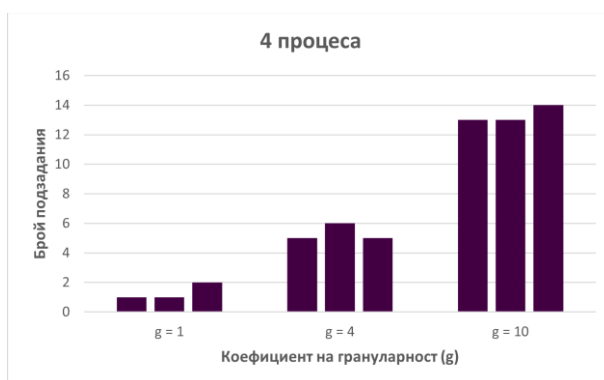


#	p	g	$T_p^{(1)}$	$T_p^{(2)}$	$T_p^{(3)}$	$T_p = \min(T_p^{(i)})$	$S_p = T_1/T_p$	$E_p = S_p/p$
1	1	32	35570	35346	38106	35346	1	1
2	2	32	36522	34998	36275	34998	1.0099434	0.50497171
3	4	32	14790	15746	15701	14790	2.389858	0.5974645
4	6	32	17102	18091	18244	17102	2.0667758	0.34446264
5	8	32	11734	15591	14877	11734	3.012272	0.376534

3.1.2.2 Графики

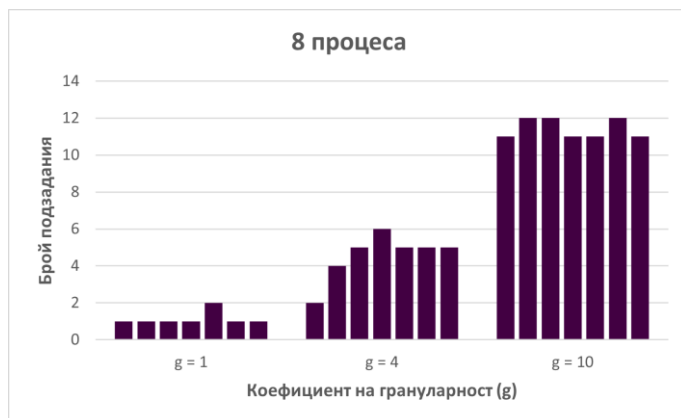


Фигура 14: Графика на ускорението при динамично централизирано балансиране, 1024 итерации, по редове, област: -0.6386:-0.5986:0.4486:0.4686, размер на генерирано изображение: 4K



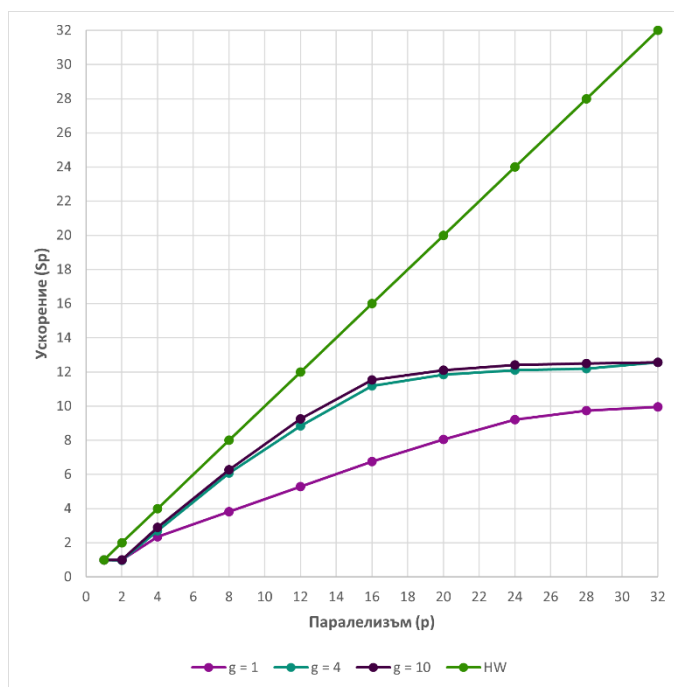
Фигура 15: Хистограма на броя обработени подзадания от всяка нишка при паралелизъм 4, при динамично централизирано балансиране, 1024 итерации, по редове, област: -0.6386:-0.5986:0.4486:0.4686, размер на генерирано изображение: 4K



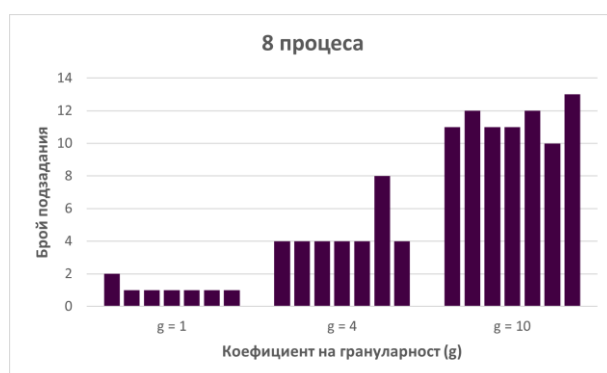


Фигура 19: Хистограма на броя обработени подзадания от всяка нишка при паралелизъм 4, при динамично централизирано балансиране, 1024 итерации, по колони, област: $-0.6386:-0.5986:0.4486:0.4686$, размер на генерирано изображение: 4K





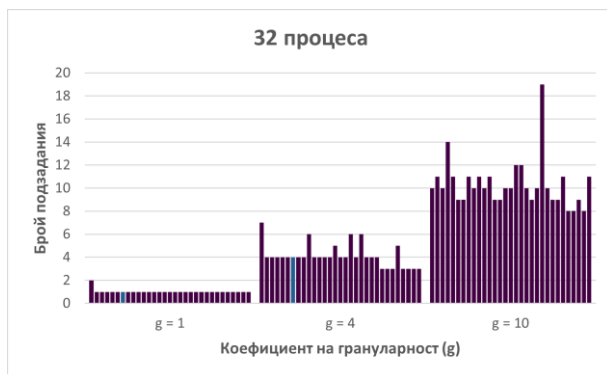
Фигура 22: Графика на ускорението при динамично централизирано балансиране, 1024 итерации, по редове, област: -1.5:0.7:-1:1, размер на генерирано изображение: 4K



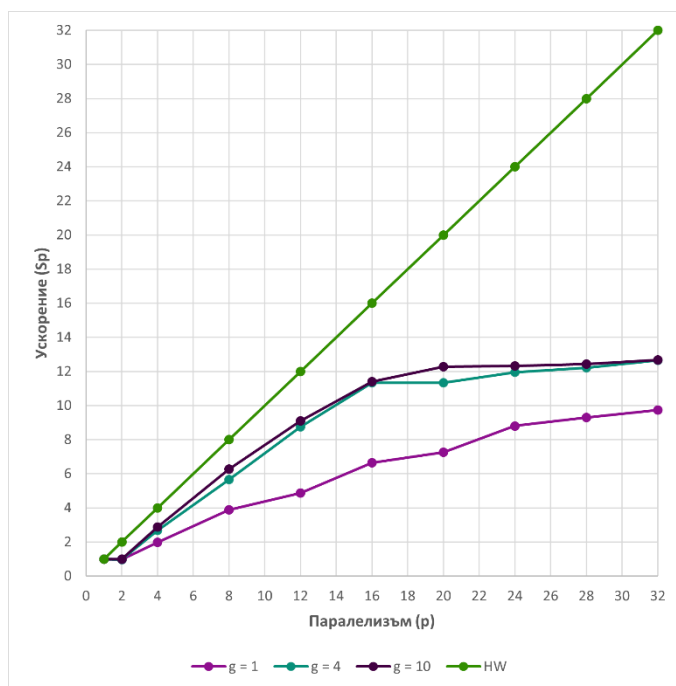
Фигура 23: Хистограма на броя обработени подзадания от всяка нишка при паралелизъм 8, при динамично централизирано балансиране, 1024 итерации, по редове, област: -1.5:0.7:-1:1, размер на генерирано изображение: 4K



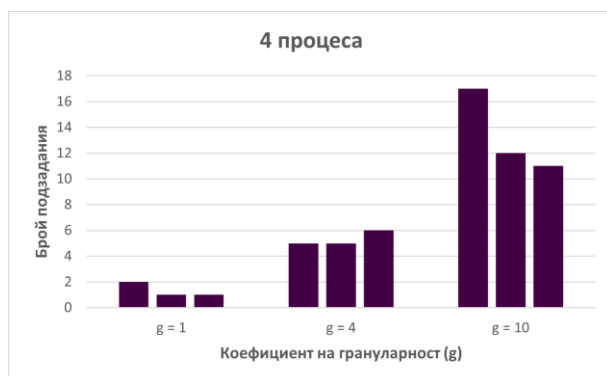
Фигура 24: Хистограма на броя обработени подзадания от всяка нишка при паралелизъм 16, при динамично централизирано балансиране, 1024 итерации, по редове, област: -1.5:0.7:-1:1, размер на генерирано изображение: 4K



Фигура 25: Хистограма на броя обработени подзадания от всяка нишка при паралелизъм 32, при динамично централизирано балансиране, 1024 итерации, по редове, област: $-1.5:0.7:-1:1$, размер на генерирано изображение: 4K



Фигура 26: Графика на ускорението при динамично централизирано балансиране, 1024 итерации, по колони, област: $-1.5:0.7:-1:1$, размер на генерирано изображение: 4K



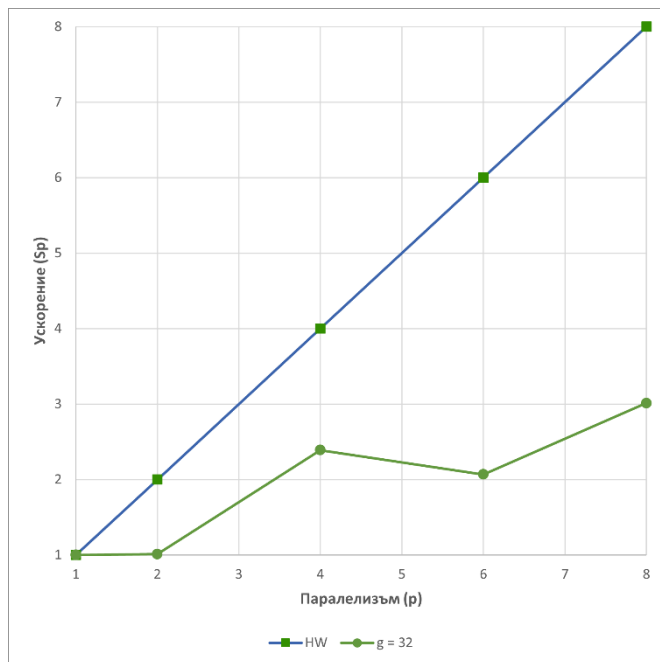
Фигура 27: Хистограма на броя обработени подзадания от всяка нишка при паралелизъм 4, при динамично централизирано балансиране, 1024 итерации, по колони, област: $-1.5:0.7:-1:1$, размер на генерирано изображение: 4K



Фигура 28: Хистограма на броя обработени подзадания от всяка нишка при паралелизъм 16, при динамично централизирано балансиране, 1024 итерации, по колонии, област: $-1.5:0.7:-1:1$, размер на генерирано изображение: 4K



Фигура 29: Хистограма на броя обработени подзадания от всяка нишка при паралелизъм 32, при динамично централизирано балансиране, 1024 итерации, по колонии, област: $-1.5:0.7:-1:1$, размер на генерирано изображение: 4K



Фигура 30: Графика на ускорението на четириядрена машина при динамично централизирано балансиране, 1024 итерации, по колонии, област: $-1.5:0.7:-1:1$, размер на генерирано изображение: 4K

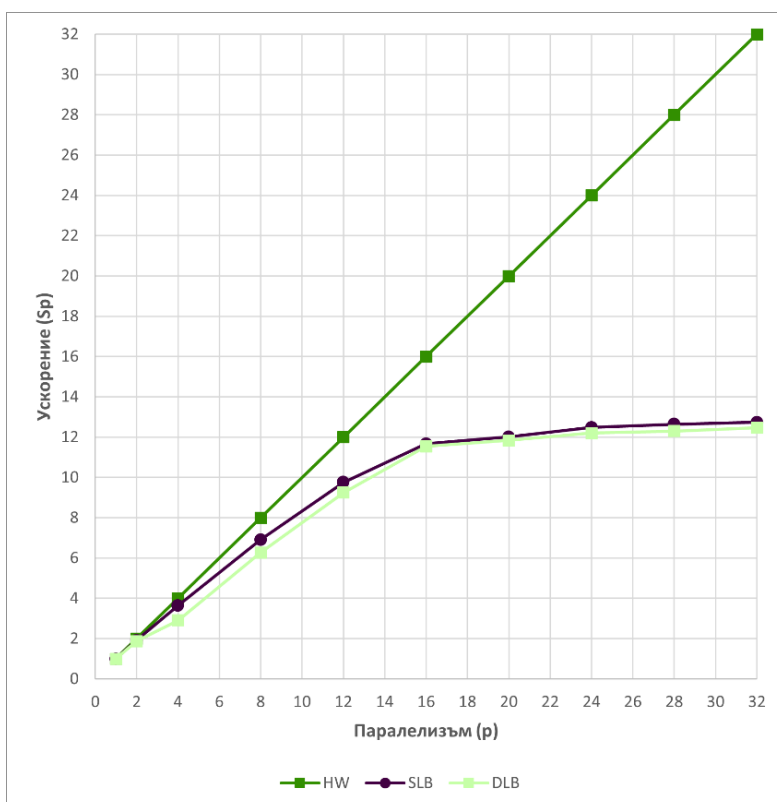


3.1.2.3 Изводи

От кривите на ускорението се забелязва, че и при динамичното централизирано балансиране, при избраната малка област от теста на Манделброт, декомпозицията по редове води до малко по-високи резултати за ускорението, отколкото декомпозицията по колони. Въпреки това, и двете са отново много сходни. Това отново се дължи на сложността на избраната област и спецификата на теста на Манделброт.

Забелязваме, че максималното получено ускорение на практика отново не надминава 12. Въпреки, че е доста сходно с полученото ускорение при статично циклично балансиране, то все пак остава по-ниско. Причината за това е породения свръхтовар при процесите на комуникация и обмен на задачи между основната нишка (master) и работните нишки.

От хистограмите, демонстриращи броя задачи, обработени от всяка нишка, се вижда, че разпределението е сравнително равномерно. В някои от случаите се наблюдава малко по-голяма дисперсия, но това е сравнително рядко. Това е положителен факт, тъй като означава, че не се получава свръхнатоварване само върху една определена нишка, а задачите са сравнително поравно разпределени. Въпреки това, определеността и детерминистичността при статичното циклично балансиране се вижда, че остава по-добрият избор, водещ до по-високи стойности на ускорението.



Фигура 31: Сравнение на кривите на статично циклично балансиране и динамично централизирано балансиране при коефициент на грануларност $g = 10$, 1024 итерации, декомпозиция по колони, област: $-1.5:0.7:-1:1$, размер на генерирано изображение: 4K



3.1.3 Резултати при реализация с динамично централизирано балансиране с използване на библиотеката „ExecutorService“

3.1.3.1 Тестов план

В представения тестов план под формата на таблица са използвани следните означения на колоните:

p – паралелизъм (броят нишки)

g – грануларност

$T_p^{(i)}$ – време за изпълнение при паралелизъм p , получено на i -тия тест

S_p – ускорение при паралелизъм p

E_p – ефективност при паралелизъм p

Тестова машина:		rmi.yaht.net						
Област:		-0.6386 : -0.5986 : 0.4486 : 0.4686						
Балансиране:		динамично централизирано балансиране (с библиотека "ExecutorService")						
Макс. брой итерации:		1024						
Декомпозиция:		по редове						
Размер:		3840 x 2160 (4K)						
#	p	g	$T_p^{(1)}$	$T_p^{(2)}$	$T_p^{(3)}$	$T_p = \min(T_p^{(i)})$	$S_p = T_1/T_p$	$E_p = S_p/p$
1	1	1	15861	15841	15884	15841	1	1
2	2	1	16309	16360	16399	16309	0.9713042	0.48565209
3	4	1	10491	10710	10787	10491	1.5099609	0.37749023
4	8	1	6642	6580	6546	6546	2.4199511	0.30249389
5	12	1	4945	5008	4962	4945	3.2034378	0.26695315
6	16	1	4063	4336	4042	4042	3.9190995	0.24494372
7	20	1	3763	3461	3663	3461	4.5770009	0.22885004
8	24	1	3316	3260	3332	3260	4.8592025	0.20246677
9	28	1	3043	3020	3039	3020	5.2453642	0.18733444
10	32	1	2718	2705	2706	2705	5.8561922	0.18300601
11	1	4	15866	15873	15862	15862	1	1
12	2	4	16404	16330	16462	16330	0.9713411	0.48567055
13	4	4	5734	5751	5799	5734	2.7663062	0.69157656
14	8	4	2783	2764	2726	2726	5.8187821	0.72734776
15	12	4	1903	1875	1896	1875	8.4597333	0.70497778
16	16	4	1666	1756	1522	1522	10.421813	0.65136334
17	20	4	1813	1699	1494	1494	10.617135	0.53085676
18	24	4	1656	1544	1649	1544	10.273316	0.42805484
19	28	4	1474	1502	1529	1474	10.761194	0.38432836
20	32	4	1422	1443	1424	1422	11.154712	0.34858474
21	1	10	15849	15901	15896	15849	1	1
22	2	10	16465	16439	16415	16415	0.9655193	0.48275967
23	4	10	5876	5821	5799	5799	2.7330574	0.68326436



24	8	10	2677	2700	2705	2677	5.9204333	0.74005417
25	12	10	1879	1882	1866	1866	8.4935691	0.70779743
26	16	10	1538	1530	1618	1530	10.358824	0.64742647
27	20	10	1471	1426	1457	1426	11.114306	0.55571529
28	24	10	1440	1423	1416	1416	11.192797	0.46636653
29	28	10	1412	1385	1398	1385	11.443321	0.40869005
30	32	10	1370	1349	1378	1349	11.748703	0.36714696

Тестова машина:		rmi.yaht.net						
Област:		-1.5 : 0.7 : -1 : 1						
Балансиране:		динамично централизирано балансиране (с библиотека "ExecutorService")						
Макс. брой итерации:		1024						
Декомпозиция:		по редове						
Размер:		3840 x 2160 (4K)						
#	p	g	$T_p^{(1)}$	$T_p^{(2)}$	$T_p^{(3)}$	$T_p = \min(T_p^{(i)})$	$S_p = T_1/T_p$	$E_p = S_p/p$
1	1	1	54514	54678	54552	54514	1	1
2	2	1	61529	61488	61488	61488	0.8865795	0.44328975
3	4	1	26279	26270	25991	25991	2.0974183	0.52435458
4	8	1	15919	15939	16151	15919	3.4244613	0.42805767
5	12	1	11344	11421	11502	11344	4.805536	0.40046133
6	16	1	8894	9381	8814	8814	6.1849331	0.38655832
7	20	1	7342	7244	7457	7244	7.5254003	0.37627002
8	24	1	6673	6832	6889	6673	8.1693391	0.34038913
9	28	1	6302	6287	6127	6127	8.8973396	0.31776213
10	32	1	5917	5759	5708	5708	9.5504555	0.29845173
11	1	4	54401	54540	54523	54401	1	1
12	2	4	61445	61486	61433	61433	0.8855338	0.44276692
13	4	4	22845	22621	22715	22621	2.4048893	0.60122232
14	8	4	10333	10116	9931	9931	5.4778975	0.68473719
15	12	4	6843	6782	6784	6782	8.0213801	0.66844834
16	16	4	5418	5508	5466	5418	10.04079	0.62754937
17	20	4	5335	5107	5210	5107	10.652242	0.5326121
18	24	4	4892	4917	5033	4892	11.120401	0.46335003
19	28	4	4858	4961	4875	4858	11.19823	0.39993678
20	32	4	4813	4815	4761	4761	11.426381	0.35707441
21	1	10	54492	54564	54451	54451	1	1
22	2	10	61996	62227	61899	61899	0.879675	0.43983748
23	4	10	21436	21365	21542	21365	2.5486075	0.63715188
24	8	10	9915	9878	10024	9878	5.5123507	0.68904383
25	12	10	6537	6559	6655	6537	8.3296619	0.69413849
26	16	10	5784	5275	5378	5275	10.322464	0.64515403

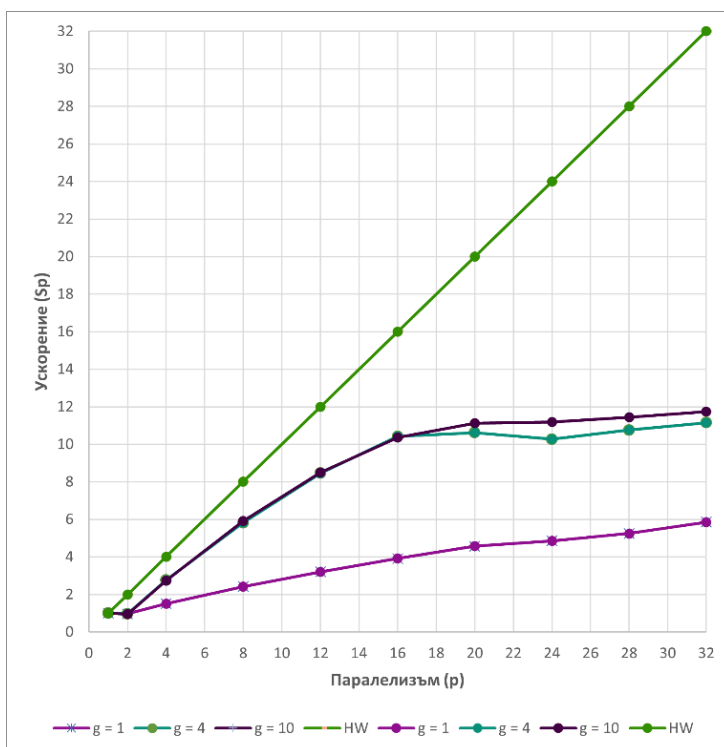


27	20	10	5027	4983	5051	4983	10.927353	0.54636765
28	24	10	4870	4865	4887	4865	11.192395	0.46634978
29	28	10	4832	4843	4853	4832	11.268833	0.40245831
30	32	10	4694	4708	4720	4694	11.600128	0.36250399

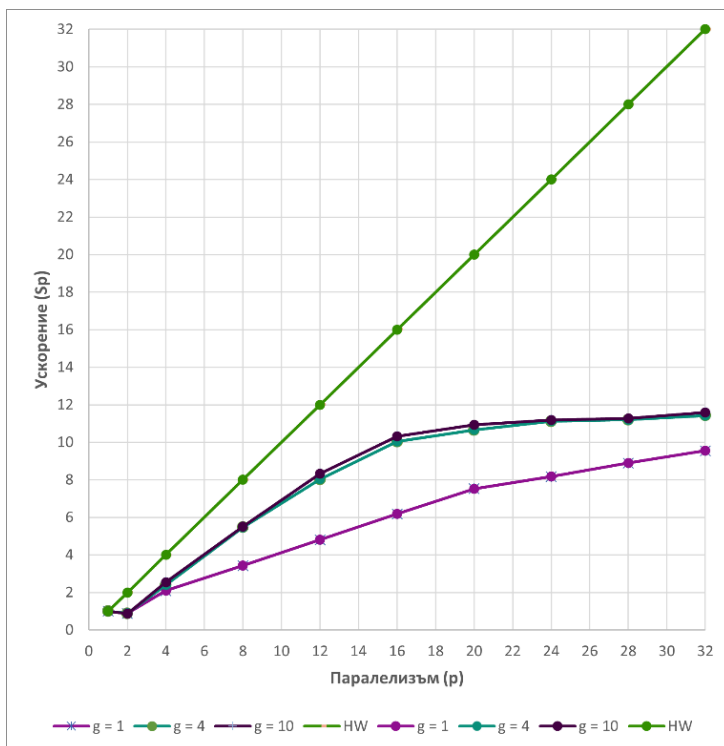
Тестова машина:			PC					
Област:			-0.6386 : -0.5986 : 0.4486 : 0.4686					
Балансиране:			динамично централизирано балансиране (с библиотека "ExecutorService")					
Макс. брой итерации:			1024					
Декомпозиция:			по редове					
Размер:			3840 x 2160 (4K)					
#	p	g	$T_p^{(1)}$	$T_p^{(2)}$	$T_p^{(3)}$	$T_p = \min(T_p^{(i)})$	$S_p = T_1/T_p$	$E_p = S_p/p$
1	1	1	10599	11715	11071	10599	1	1
2	2	1	10674	10681	10779	10674	0.9929736	0.49648679
3	4	1	7295	7400	8015	7295	1.452913	0.36322824
4	6	1	6802	6726	5979	5979	1.7727045	0.29545074
5	8	1	5190	7032	5983	5190	2.0421965	0.25527457
6	1	4	10062	10566	10184	10062	1	1
7	2	4	10789	10995	10591	10591	0.9500519	0.47502597
8	4	4	4801	4555	4627	4555	2.2090011	0.55225027
9	6	4	3748	3897	5230	3748	2.6846318	0.44743863
10	8	4	4173	4598	5054	4173	2.411215	0.30140187
11	1	10	10062	10566	10184	10062	1	1
12	2	10	10604	10441	10579	10441	0.9637008	0.4818504
13	4	10	4981	5495	6075	4981	2.0200763	0.50501907
14	6	10	3914	3885	3925	3885	2.5899614	0.43166023
15	8	10	3323	3320	3778	3320	3.0307229	0.37884036
16	1	32	10240	10410	10326	10240	1	1
17	2	32	10597	10535	10896	10535	0.9719981	0.48599905
18	4	32	4393	4349	4543	4349	2.3545643	0.58864107
19	6	32	3835	3917	3850	3835	2.6701434	0.4450239
20	8	32	3318	4757	5521	3318	3.0861965	0.38577456
21	1	64	10403	11006	10766	10403	1	1
22	2	64	10382	10723	10860	10382	1.0020227	0.50101137
23	4	64	4649	4696	4911	4649	2.2376855	0.55942138
24	6	64	3907	3939	4041	3907	2.6626568	0.44377613
25	8	64	3440	3876	4532	3440	3.0241279	0.37801599



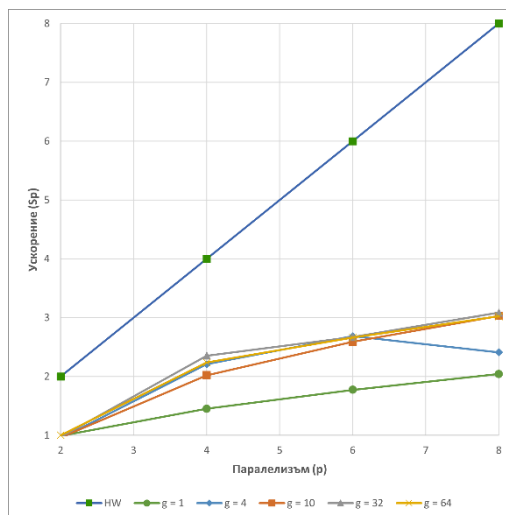
3.1.3.2 Графики



Фигура 32: Графика на ускорението при динамично централизирано балансиране (с библиотека „Executorservice“), 1024 итерации, по редове, област: $-0.6386:-0.5986:0.4486:0.4686$, размер на генерирано изображение: 4K



Фигура 33: Графика на ускорението при динамично централизирано балансиране (с библиотека „Executorservice“), 1024 итерации, по редове, област: $-1.5:0.7:-1:1$, размер на генерирано изображение: 4K

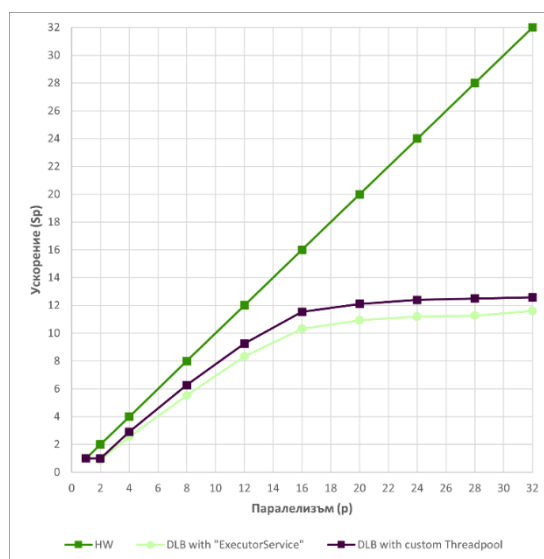


Фигура 34: Графика на ускорението на четириядрена машина при динамично централизирано балансиране (с библиотека „ExecutorService“), 1024 итерации, по редове, област: -0.6386:-0.5986:0.4486:0.4686, размер на генерирано изображение: 4K

3.1.3.3 Изводи

От тестовите таблици и графиките на кривите на ускорението се вижда, че динамичното централизирано балансиране, което не разчита на външната библиотека „ExecutorService“, се представя по-добре по отношение на генерираното ускорение, спрямо варианта, който зависи от библиотеката. Както казахме в частта по проектирането, външната библиотека не ни дава детерминистичността, от която се нуждаем в паралелното програмиране. Напротив, основните методи за работа с нея не конкретизират точно определен срок на работа, а посочват, че ще се изпълнят „по някое време в бъдещето“.

Ускорението, което се получава при реализацията, която разчита на готовата функция, в нито един момент не надминава кривата на другата реализация. Това потвърждава позицията на авторите на източник [4], че готовите функции доста често може да донесат допълнителен свръхтовар в паралелен алгоритъм.

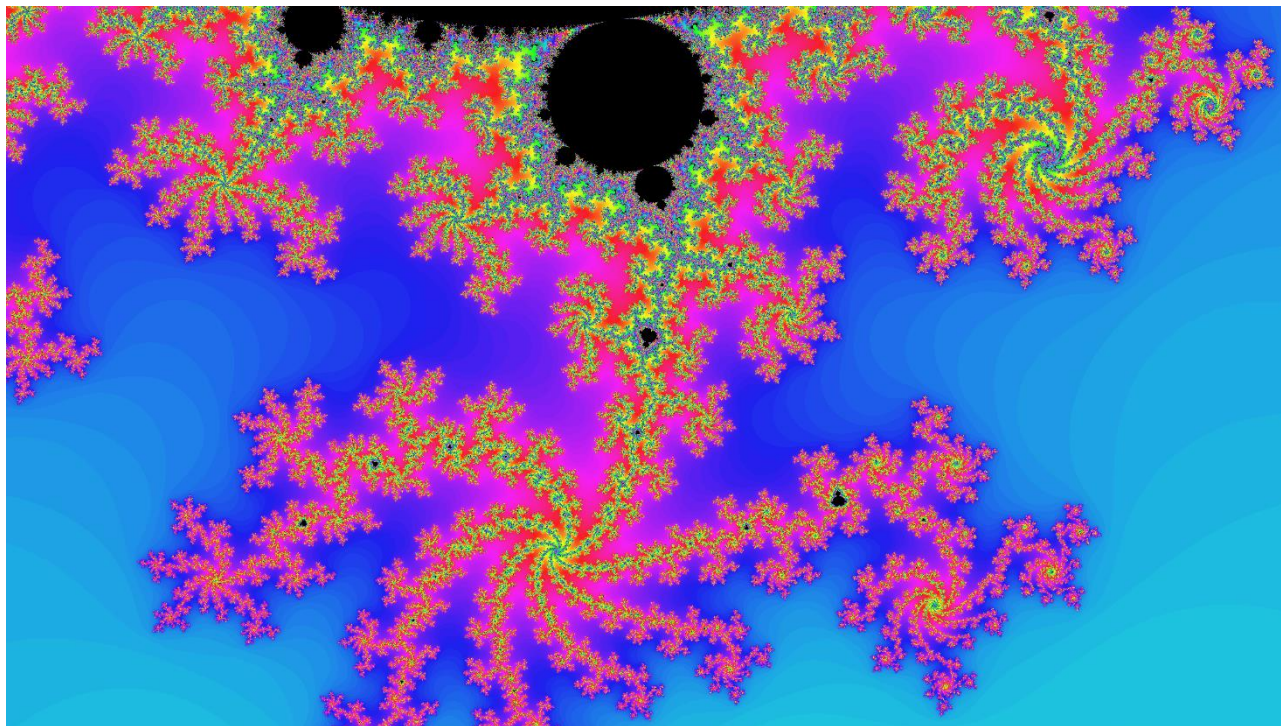


Фигура 35: Сравнение на кривите на динамично централизирано балансиране с използване на вътрешната библиотеката „ExecutorService“ и динамично централизирано балансиране, което не разчита на библиотеката „ExecutorService“ при коефициент на грануларност $g = 10$, 1024 итерации, декомпозиция по редове, област: -1.5:0.7:-1:1, размер на генерирано изображение: 4K

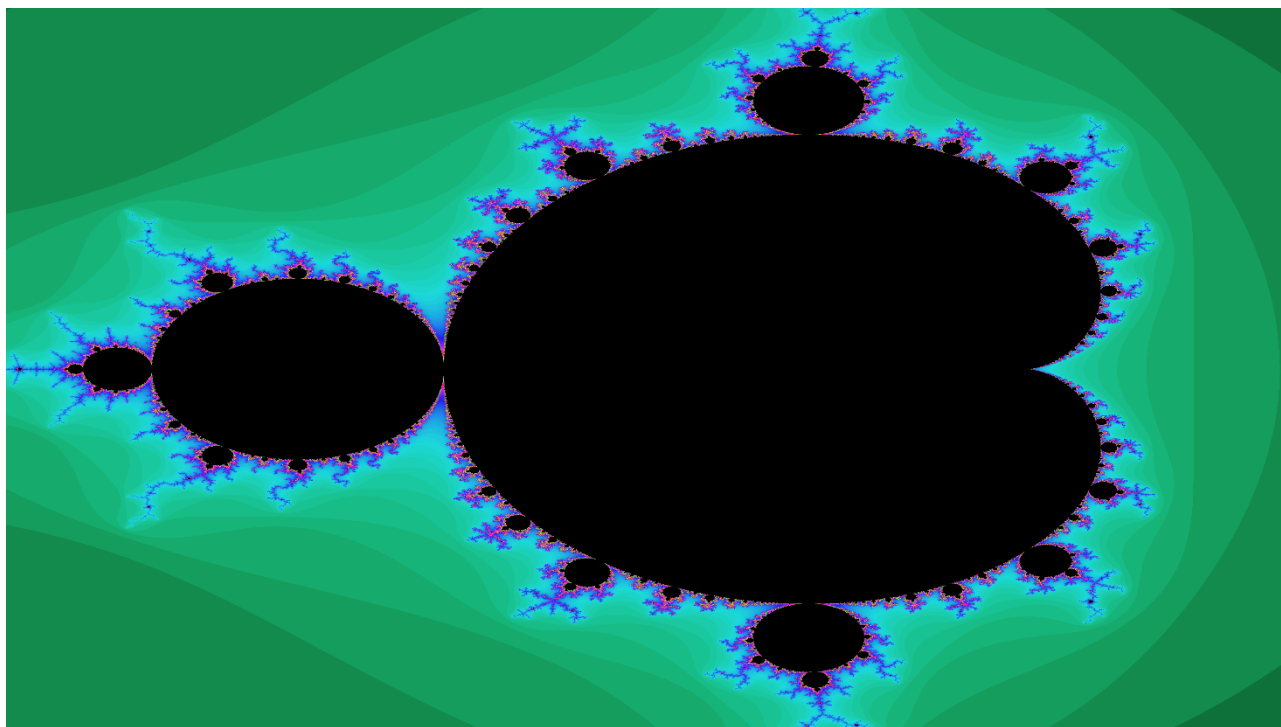


3.2 Внедряване

В настоящия курсов проект всички тестови случаи бяха проведени в две различни области от множеството на Манделброт. Техните точни координати могат да бъдат видени под съответните изображения, които са получени като резултати от програмата:



Фигура 36: Резултат от изпълнението на програмата при 1024 максимален брой итерации с 4K размер в област: $-0.6386;-0.5986;0.4486;0.4686$



Фигура 37: Резултат от изпълнението на програмата при 1024 максимален брой итерации с 4K размер в област: $-1.5;0.7;-1;1$



3.3 Заключение

Като извод от всички направени тестове, може да се заключи, че статичното циклично балансиране макар и с не толкова голяма преднина, винаги дава по-добри резултати от останалите две реализации на динамично централизирано балансиране.

Друга отличителна особеност в паралелното програмиране, която винаги трябва да се има предвид, е да се внимава с готовите методи и цели библиотеки. Те трябва да бъдат внимателно проучени преди да се използват в един такъв алгоритъм, защото е възможно да не са предвидени за целта, за която искаме да ги използваме. При възможност, винаги остава за предпочитане направата на собствена имплементация като най-сигурен вариант. Една от целите на настоящия курсов проект беше да докаже на практика това твърдение.

Източници

- [1] **Ali, Dia, Dobson, Davis, Gäng, Isaac, Gourd, Jean.** *Parallel Implementation and Analysys of Mandelbrot Set Construction*. University of Southern Mississippi, 2008 [Viewed 04.06.2023]. Available from: https://www.academia.edu/1399383/Parallel_Implementation_and_Analysis_of_Mandelbrot_Set_Construction
- [2] **Antonio, Laganá, Tracolli, Mirco, Pacifici, Leonardo.** *Parallel generation of a Mandelbrot set*. University of Perugia, 2016 [Viewed 04.06.2023]. Available from: <http://services.chm.unipg.it/ojs/index.php/virtlcomm/article/view/112>
- [3] **Gamage, Bhanuka, Baskaran, Vishnu.** *Efficient Generation of Mandelbrot Set using Message Passing Interface*. Monah University, Malaysia, 2020 [Viewed 04.06.2023]. Available from: https://www.researchgate.net/publication/342655570_Efficient_Generation_of_Mandelbrot_Set_using_Message_Passing_Interface
- [4] **Gómez, Ernesto.** *MPI vs OpenMP: A case study on parallel generation of Mandelbrot set*. University of Information Sciences, Havana, 2020 [Viewed 04.06.2023]. Available from: https://www.researchgate.net/publication/344453347_MPI_vs_OpenMP_A_case_study_on_parallel_generation_of_Mandelbrot_set